

МИНИСТЕРСТВО ГЕОЛОГИИ СССР
ВСЕСОЮЗНЫЙ АЭРОГЕОЛОГИЧЕСКИЙ ТРЕСТ

ГЕОЛОГИЧЕСКАЯ
КАРТА СССР

МАСШТАБА 1:200 000

СЕРИЯ СТАНОВАЯ

Лист №-52-IV

Объяснительная записка

Составители: Ю. Б. Казмин, В. С. Федоровский,

Ю. Ф. Найденков

Редактор Ю. К. Дзевановский

Утверждено Научно-редакционным советом ВСГЕИ

19 марта 1964 г., протокол № 11

СОДЕРЖАНИЕ

Стр.

Введение	3
Стратиграфия	10
Интузивные образования	30
Тектоника	42
Геоморфология	53
Полезные ископаемые	57
Подземные воды	74
Литература	76
Приложения	80

ВВЕДЕНИЕ

Территория листа № 52-ГУ ограничена координатами $55^{\circ}20'$ – $56^{\circ}00'$, с.ш. и $129^{\circ}00'$ – $130^{\circ}00'$, в.д. Северная его половина расположается в пределах Тимитонского района Якутской АССР, южная – в пределах Бейского района Амурской области.

Основной орографической единицей является Становой хребет, служащий водоразделом бассейнов рек Амура и Лены. Осевая линия хребта протягивается через центральную часть листа в широтном направлении и на крайнем западе круто заворачивает на юг. Хребет представляет собой цепь выполненных возвышенностей со средними абсолютными отметками в 1200–1600 м, лишь на востокеlostи – галями абсолютной высоты 1881 м. Северную часть района занимает горный массив с альпийским рельефом и абсолютными высотами водоразделов в 1400–2000 м, на востоке примыкающий к Становому хребту, а на западе отделяющийся от него немногим плоскогорьем с абсолютными высотами в 1200–1400 м. Южнее осевой линии Станового хребта, в центральной части района, расположено выравненное полого холмистое плато, остатец древнего пeneiplена, с абсолютной высотой около 1000 м, расчищенное ущелиями, но глубокими долинами. На юго-востоке располагается тольятский массив (абсолютные высоты 1600–1878 м) с выполнеными водоразделами и склонами. Юго-западная часть района представляет собой умеренно-расчлененное среднегорье с абсолютной высотой в 1000–1300 м.

Реки Денского бассейна представлены р. Алтой с ее притоками Чакатаем, Арикитой, Утумтом, Горунчой, Нулем, Тусаны. Верхний отрезок р. Алтой субширотного направления характеризуется спокойным течением и широкой, с пологими склонами, заболоченной долиной. В пределах горного массива р. Алтой и ее притоки имеют быстрое течение (1,8 м/сек), большое количество пе-

Технический редактор Ц.С.Левитан
Корректор И.И.Богданович

Сдано в печать 15/Ул 1969 г. Подписано к печати 12/1 1970 г.
Тираж 100 экз. Формат 60x90/16 Дв.л. 5,75 Заказ 280

Копировально-картографическое предприятие
Всесоюзного геологического фонда

реках и порогов, узкие, глубоко врезанные долины с крутymi склонами. К бассейну р.Амуга относятся: р.Ток с притоками Чапы (1,2-1,7 м/сек) и перекатами. На отрезке между устьями рек Чапы и Анчана р.Ток протекает в узком каньоне, глубина которого достигает 300 м. Средняя скорость течения 2,2 м/сек. Зимой все реки, кроме р.Ток, промерзают. В мае обычны мощные, но короткие паводки. Летом имеет место летние паводки, связанные с дождями.

Климат резко континентальный с неравномерным распределением осадков в году. Зимой район испытывает влияние Сибирского антициклиона, обуславливавшего ясную морозную погоду при малом количестве осадков. Летом часто дуют влажные юго-восточные ветры, в связи с чем в июне-сентябре выпадают до 80% всех осадков, годовое количество которых редко превышает 500 мм. По данным метеостанции, расположенной в 70 км северо-восточнее района, у оз.Бол.Токо, среднегодовая температура воздуха равна -12°, минимальная января -50-60°, максимальная июля 23°. Весна быстрая, реки освобождаются от льда в середине мая. Лето жаркое, длится с июня по август включительно. Осень короткая. В конце сентября ложится снег. Зима суровая и продолжительная. Отрицательная среднегодовая температура обуславливает почти повсеместное развитие многолетней мерзлоты с деятельным слоем до 0,5 м.

Почвы по долинам и нижним частям склонов ступенистые и спускающиеся, сменяющиеся вверх по склону грубообскеленными почвами водоразделов.

В распределении растительности наблюдается вертикальная зональность. До 1100-1300 м преобладают лиственничные леса с примесью ели, березы, кедрового стланника. На высоте 1200-1500 м располагается полгольцовий пояс с зарослями труднопроходимого кедрового стланника с примесью карликовой бересни. В пользовом поясе выше 1500 м преобладают лиственины.

Животный мир района разнообразен. Здесь водятся лось, лесной олень, бурый медведь, волк, рысь, соболь, белка, бурундук, заяц. Из птиц встречаются рябчики, глухари, куропатки, кедровки и др. В реках много рыбы.

Населенных пунктов на территории листа нет. Некий поселок Чапа разрушен и для жилья непригоден. Ближайший населенный пункт - пос.Боннак - расположен в 80 км выше описываемой территории. Сообщение в районе возможно по вырытым тропам, пригод-

ным для оленного транспорта. В долине р.Тока, у устья руч.Кораль, имеется посадочная площадка для самолетов АН-2, базирующихся в г.Зее.

Обнаженность территории в целом удовлетворительная, а в северной его части хорошая.

Территория листа из-за удаленности от южных районов изучена слабо. Первые представления об орографии и геологии южной части района были получены в результате работ Э.Ю.Андерса (1909-1910 гг.), выполненного маршрутом по долине р.Тока (ниже устья р.Чапы), а также в верховых рек Кунгкун, Джаланды, Ялавана, Намуги.

В 1929 г. на севере территории, в верховых р.Алтому, трестом "Амурзолото" производились поисковые работы на золото, не давшие положительного результата (Удинцов, 1929). С 1930 по 1946 г. на р.Чапа, а также по руч.Качу и Родниковской полокане, разведочные работы проводены трестом "Амурзолото".

Из региональных исследований тридцатых годов, имевших большое значение для последующей расшифровки геологического строения территории листа, следует отметить работы Л.С.Коржинского (1939, 1943 гг.), положившего начало изучению архейского комплекса Алданского щита, расщепленного им на три серии: инграскую, тимитонскую и джедуйтинскую. Большое внимание в работах Л.С.Коржинского отводится выяснению метаморфических процессов, в частности ретроградного метаморфизма.

В 1945 г. А.И.Куском (1950) на севере рассматриваемого района с целью поисков золота были осследованы верховья р.Алтому с притоками и составлена на глазомерной основе маршрутная геологическая карта масштаба 1:200 000. В пределах указанного участка им впервые выделены и описаны первичные архейские гнейсы, кристаллические сланцы и мраморы, юрские песчаники и конгломераты, а также архейские, протерозойские и герцинские интрузии. А.И.Куском сделаны интересные выводы по однотению и истории развития рельефа, в частности, впервые высказано предположение о существовании в верховых р.Алтому древней долины.

В 1947 г. Ю.А.Сиротин (1947), по заданию треста "Амурзолото", проводил поисковые работы в бассейне рек Чапы и Тока (выше устья р.Чапы). На составленной геологической карте масштаба 1:200 000 (на глазомерной основе) интрузии древних гранитоидов впервые подразделены на фации гнейсо-гранитов, гнейсо-гранитоидов и порфироидных гнейсо-граниторитов, а в составе молодых гранитов выделена порфировая фация. Ю.А.Сиротин установил нали-

чие древней эрозионной поверхности в районе среднего течения р. Ток и реликты древней тягости в бассейне рек Чапы и Улчи-ра.

В 1951-1955 гг. трестом "Сибгеология" (Челябинск, 1955Ф) в верховьях р. Чаката были проведены поисково-разведочные работы на мусковит.

В 1950 г. В.Г. Грушевым и Г.М. Владимирским (1950Ф) на территории южной половины листа № 52-IV проводились геологическая съемка и поиски масштаба 1:500 000. Для рассматриваемой части района ими была впервые составлена геологическая карта, на которой довольно точно (в пределах масштаба) отмечированы интрузии древних гранито-gneйсов, гранодиорито-gneйсов, диорито-gneйсов и молодые интрузии гранодиоритов и лайки гранит-порфиров. Метаморфические образования в пределах района были однобоко отнесены или к кимрийской свите архея и более дробно не подразделялись.

В 1950-1952 гг. П.А. Суников и В.А. Левченко (1952Ф) на генеральной основе составили геологическую карту масштаба 1:200 000, захватывающую значительную часть территории листа № 52-IV. Все метаморфические образования, в том числе нижнепротерозойские и палеогенные, упомянутые исследователи ошибочно отнесли к архею, но, в отличие от предыдущих исследователей, подразделили на четыре свиты по литолого-стратиграфическому составу. Среди них выделили: архейский комплекс катаклизованных лейко-кристаллических и блоковых гнеcсов, альгинитовых гранито-gneйсов, но, в отличие от предыдущих исследователей, подразделили на четыре свиты по литолого-стратиграфическому составу. Среди них выделили: архейский комплекс катаклизованных лейко-кристаллических и блоковых гнеcсов, альгинитовых гранито-gneйсов и гнейсированных кисличных диоритов, мезозойский комплекс гранодиоритов, гранитов, гранит-порфиров и порфировых диоритов.

Большое значение для правильного понимания геологии района имел работы Ю.К. Дзеванского (1946, 1947, 1958, 1960, 1961), проводимого исследования в центральной и западной частях Алданского лита и в западной части Станового хребта. Ю.К. Дзеванский детализировал и дополнил схему Д.С. Коринского, расчленив серию архея на свиты, и заложил основы разделения метаморфических образований на архейские и нижнепротерозойские, впервые выделив ставовой и нижнепротерозойский комплексы метаморфических пород в зоне Станового хребта.

В 1954 г. территория соседнего с севера листа 0-52-XXXII была заселена в масштабе 1:200 000 Аянской экспедицией Всесоюзного аэрогеологического треста (Т.С. Долгих и др.) на территории северной половины листа № 52-IV была составлена геологическая карта масштаба 1:200 000 (Курячев и др., 1960Ф), положенная в осно-

Государственная геологическая карта листа 0-52-XXXII (Долгих, 1959). В пределах примыкающей к листу № 52-IV южной ее части показаны архейские образования, отнесенные к кимрийской и сутамской свитам джетулинской серии, а также архейские альгинитовые граниты и протерозойские (?) пегматоидные граниты. В состав последних были ошибочно включены мигматизированные архейские гранулины.

В 1958-1959 гг. в пределах южной части района маршрутные исследования проводились В.Н. Молкиным и И.А. Альбоным, выполненные в районе нижнепротерозойские метаморфические и магматические образования (Красный и др., 1959Ф).

В 1958 г. в бассейне верхнего течения рр. Алтана, Туссаны и Нуна О.М. Кадыковым (Родионов, Пузанова, 1959Ф) проводились поисковые работы на пьезокварц, в результате которых район признан бесперспективным.

В 1958-1959 гг. Октябрьской экспедицией МГИОН (Гукосян, 1960Ф, 1962Ф) была произведена аэромагнитная съемка большей части территории листа, за исключением северо-восточного высокогорного участка (рис. 1).

Для метаморфических и интрузивных пород нижнего протерозоя характерны в целом преобладающие отрицательные значения ΔT в пределах южной половины листа приурочены к интрузиям ранненефеловых гранодиоритов и четко ограничивают контуры последних. Относительно мелкие небольшие положительные пики на фоне отрицательных значений, скорее всего, связаны с мелкими телами и лайками пород основного состава. Резкое изменение характера значений ΔT контролирует тектонические нарушения и контакты интрузий. Появление положительных пики, имеющих значительную площадь в верховых р. Бадис-Макит, возможно связывать с мелкими интрузивными телами основного состава. Однако не исключено, что они приурочены к промылению магнитных руд, не обнаруженных исследователями Ю.К. Дзеванским, во-вторых, с плохой обнаженностью. В бассейне р. Авгентур намечается приуроченность положительных значений ΔT к кристаллическим сланцам основного состава верхней подсвиты худуринской свиты и массиву габбро-андиболитов. Для базальтов характерны наиболее отрицательные значения ΔT .

В 1959 г. Сквородинской экспедицией Всесоюзного аэрогеологического треста (Т.С. Долгих и др.) на территории северной половины листа № 52-IV была составлена геологическая карта масштаба 1:200 000 (Курячев и др., 1960Ф), положенная в осно-

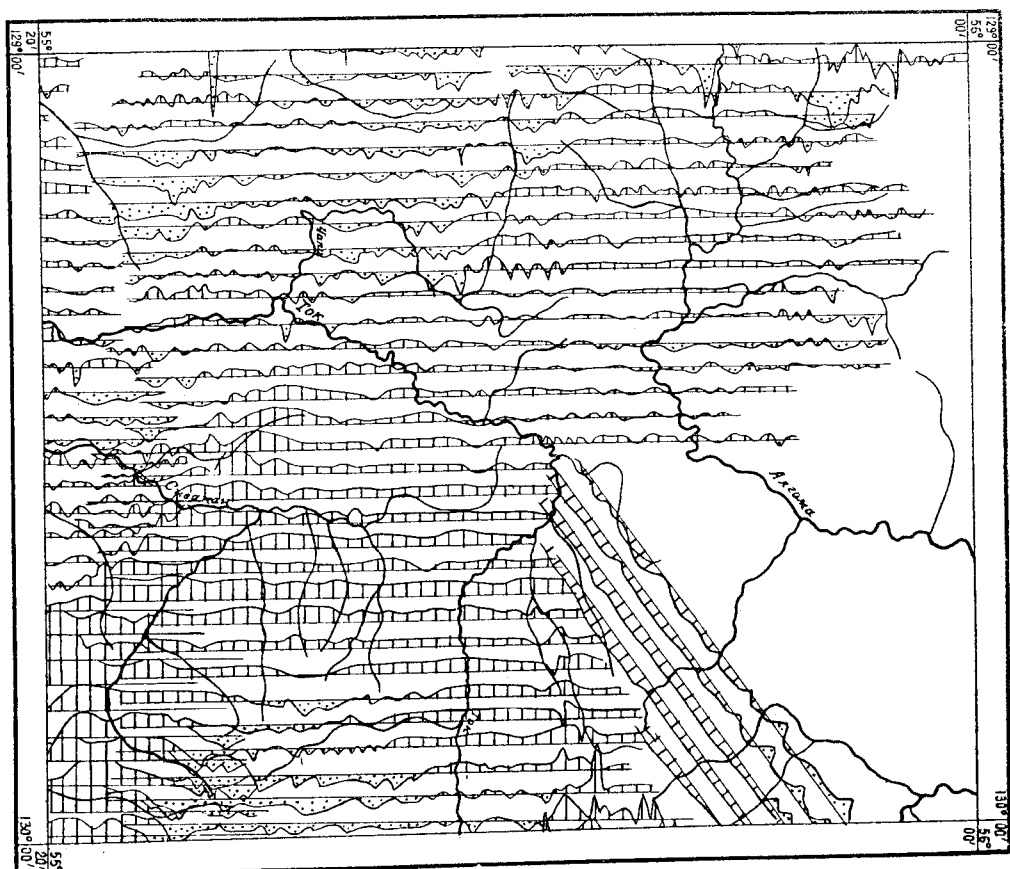


Рис. I. Карта гравиков А.Т. Масштаб 1 см 2000 гаим.
Значения А.Т.: 1 - положительные, 2 - отрицательные

зу Государственной геологической карты этой части листа. Упомянутыми исследователями метаморфические образования на севере района были подразделены на архейские и нижнепротерозойские. Среди архейских пород выделены юриканские свиты тимитонской серии, сутамская, худурканская, утусская и альянтарская свиты джелтулинской серии. Нижнепротерозойские метаморфические породы подразделены на кудулансскую и одлонсинскую свиты. Геологическая карта северной половины листа №-52-ГУ, составленная Т.С.Долгих, не увязывалась с Государственной геологической картой листа 0-52-ХХГУ, составленной этим же исследователем. В частности, не была сопита граница свит в архейском комплексе, а выделенные ранее на территории листа 0-52-ХХГУ в нижнепротерозойские (?) интрузии гранатовые гранулиты на территории листа №-52-ГУ были включены в состав метаморфических толщ архея.

В 1961 г. Сковородинской экспедицией Всесоюзного аэрогеологического треста (Казмин, Федоровский и др., 1962) была проведена геологическая съемка и поиски масштаба 1:200 000 на территории южной половины листа №-52-ГУ, результаты которых положены в основу Государственной геологической карты южной части листа. В этом же году авторами проведены редакционно-увязочные работы и в пределах северной части района, в результате которых получены новые данные по стратиграфии и магматизму. Так, архейские образования на Междуречье Авгенкура и Алынока отнесены к улунчинской и нижнесунганинской свитам тимитонской серии, а складчатая структура этого участка трактуется как ядро кудулной антиклинали; нижнепротерозойские метаморфические породы подразделены на две свиты: чильчинскую и кудуланскую; на Междуречье Авгенкура и Горучи выделен массив раннепротерозойских раббродов, уточнена в пределах района южная граница Алланского лита, подтверждена правильность отнесения магматизированных гранатовых гранулитов к метаморфическому комплексу архея. Редакционными маршрутами в пределах южной окраины территории листа 0-51-ХХГУ (бассейн р. Чайдах) было установлено, что на плодородных землях ранее нижнепротерозойских (?) интрузий обнаружены мигматизированные архейскими амфиболовыми гранитами метаморфические породы (гранатовые гранулиты, реже гнейсы и кристаллические сланцы). Толща гранатовых гнейсов и гранулитов, выделенная Т.С.Долгих (1959) в качестве сутамской свиты джелтулинской серии по новым данным, соответствует улунчинской свите, застывшей в основании тимитонской серии.

Вышеизложенное лежит в основе несбывки геологических кон-

туро на границе листов №-52-ГУ и 0-52-ХХХІІ. С геологическими картами листов №-52-ІІ, №-52-У и №-52-Х, съемки с запада, востока и юга, геологическая карта листа №-52-ГУ увязана полностью.

Результаты геологических съемок масштаба 1:200 000, проведенных на съемках с востока, запада и юга территории (Гимельбарб и др., 1962 г.; Казмин и др., 1960 г.; Михайлов и др., 1961 г.; Ломак, 1962 г., 1963 г.) учтены при составлении геологической карты листа №-52-ГУ.

СТРАТИГРАФИЯ

В геологическом строении района основная роль принадлежит породам архея, метаморфизованным в гранулитовой фации, и нижнего протерозоя, метаморфизованным в амфиболитовой фации. Незначительным распространением пользуются континентальные отложения нижней юры и нижнего мела. Четвертичные образования представляют покровными оливиновыми базальтами и ракушками отложений аллювиального и ледникового генезиса. Кроме того, широко развиты интрузивные породы архейского, раннепротерозойского и раннеголового (?) возраста.

А Р Х Е Й С К А Я Г Р У П П А

Архейские образования (алданский комплекс), представленные метаморфическими породами гранулитовой фации, распространены в северной части района, входящего в пределы южной окраины Алданского нагорья.

Расчленение алданского комплекса на серии и свиты проведено по преобладанию определенных литолого-петрографических разностей или характерному комплексу метаморфических пород. Границы между свитами согласные, вследу условные. В составе архейских метаморфических пород в районе выделяются породы тимптонской и джелтулинской серий.

Тимптонская серия

В составе тимптонской серии выделяются породы улунчинской и нижнесунгагинской свит.

Улунчинская свита (*айч*). Породы улунчинской свиты развиты на междууречье Алтоги и Авгеникура, в бассейне рек Утумта, Чаката, Бирга-Макита и Гутуны. Низы улунчинской свиты в районе не обнаружены. Улунчинская свита представляет собой монотонную однообразную толщу биотит-гранатовых, гранат-биотитовых, графит-биотитовых гнейсов и гранулитов. В виде подчиненных прослоев, мощностью до первых метров, присутствуют графит-гранат-биотитовые гнейсы, сиотит-прироксеноевые, сиотит-двупироксеноевые кристаллические сланцы, редко минерализованные мраморы.

Улунчинская свита смыта в мелкие, часто линейные складки, что в сочетании с монотонным составом и отсутствием маркирующих горизонтов исключает возможность более дробного ее расщепления и составления разреза. Отмечается лишь некоторое увеличение количества прослоев биотит-прироксеноевых и биотит-двупироксеноевых кристаллических сланцев, графит-гранат-биотитовых, иногда графит-биотитовых гнейсов в верхних горизонтах. Минерализованные мраморы, образующие невидимые по простиранию прослои и линзы мощностью от 5-7 до 50 м по р. Алтоге и ее притокам, приурочены к нижним горизонтам улунчинской свиты.

Гранат-биотитовые, биотит-гранатовые, гранатовые гнейсы представляют собой светло-серые и розовато-серые гнейсоподобные, полосчатые, иногда массивные породы различной зернистости. Полосчатость пород обусловлена неравномерным расположением зерен граната, различной зернистостью отдельных прослоев, а также полосовыми обособлениями лейкократового материала.

Породы состоят из плагиоцлаза (30-60%), представленного олигоклазом № 25-30, кварца (15-30%), сиотита (5-30%) и граната 10-40%. В чисто гранатовых разностях содержание биотита не превышает 5%. Структура пород гранобластовая, петрогранобластовая, делигигранобластовая, нередко порфиробластовая. Гранат, слагающий порфиробласти до 1,0-4 см и образующий в основной массе изометричные зерна размером 2-5 мм, характеризуется содержанием пироповой молекулы до 34%, что подтверждается замерами показателя преломления (1,771-1,776).

Гранатовые и биотит-гранатовые гранулиты отличаются от гнейсов лейкократовым обликом, содержит гранат и биотит в количестве менее 10%, обладают гранулитовой структурой, массивной, реже полосчатой текстурой.

В графит-гранат-биотитовых и графит-биотитовых гнейсах породообразующим минералом является также мелкочешуйчатый графит, содержание которого варьирует от 5 до 15%.

Кристаллические сланцы, имеющие резко подчиненное значение в Учалининской свите, представлены биотит-пироксеновыми, биотит-двутирооксеновыми, реже двутирооксен-биотитовыми разностями, обычно лейкократовыми, с содержанием цветных минералов до 15–20%. Сланцы состоят из андезина № 36–45 (30–50%), моноклинного пироксена (5–30%), ассоциирующего с бурым биотитом (5–30%), а в двутирооксенных разностях – с гиперстеном (5–15%), кварца (3–10%). Структура гранобластовая, гиперо-гранобластовая, текстура гнейсовидная, полосчатая.

Минерализованные мраморы состоят из доломита и кальцита (70–80%), диопсида (10–20%), шинели (5–10%), форстерита (5–7%) с примесью флогопита, графита, редко ильменита.

Видимая мощность улунчинской свиты составляет около 2200 м. Стратиграфическое положение рассматриваемых образований в общем разрезе алданского комплекса определяется залеганием их на основании мощной монотонной толщи гиперстеновых и двутиреоксено-вых гнейсов и кристаллических сланцев, слагавших основную часть Тимитонской серии. Следует отметить, что на юге территории листа 0-52-ХХХIV эта толща гранатовых пород ошибочно отнесена Т.С.Долгих (1959Ф) к сутамской свите Желтушинской серии.

По данным авторов настоящей записи, подтверждавшим падение В.И.Гольденберга (Гольденберг, Долих, 1955Ф), в южной части листа 0-52-ХХХГ толща биотит-гранатовых, гранат-биотитовых и гранатовых гнейсов и гранулитов также подстилает гипертекстурные гнейсы и кристаллические сланцы тимитонской серии. Она отличается по составу и структурно-текстурным особенностям пород от типично сутамской свиты и соответствует, по новым данным, улунчинской свите.

Нижнесунганская свита (*An.*). Образования нижнесунгансской свиты развиты в основном в северо-западной части района, в бассейне рек Иван-Берялена, Бодорно, Бадис-Чамита. Небольшие по площади выходы нижнесунгансской свиты отмечаются в верховьях р. Чакатая, на Междуречье Таранаха, Сивага, Чайдаха и в верховьях правых безымянных притоков р. Алтому. Нижнесунганская свита сложена преимущественно двутиrokсеновыми, гиперстено-выми, пироксеновыми, биотит-двутиrokсеновыми, биотит-пироксено-выми, роговообманково-двутиrokсеновыми кристаллическими сланцами с прослоями гранат-биотитовых, биотит-гранатовых, графит-гранат-биотитовых гнейсов, прослоями и линзами мраморов. Нижняя граница нижнесунганской свиты проводится условно по появлению значительного количества биотит-тиrokсеновых, биотит-другие-тиrok-

сенных кристаллических сланцев, игравших значительную роль в составе нижней части свиты.

Разрез нижесунатинской свиты в нижней части бассейнов рек Иван-Берангена, Бодорого выглядит следующим образом (снизу вверх):

1. Тончайшие зооморфические очертания дельфиноподобных биотит-пироксеновых, реже пироксен-биотитовых кристаллических сланцев с редкими прослоями (мощностью до первых метров) гранат-биотитовых, биотит-гранат-

трафит-биотитовые, гранат-биотитовые гнейсы, гранат-биотит-пироксен-роловообманковые, гранат-биотит-роловообманковые, биотит-двутиреоксовые кристаллические станины

З. Биотит-пироксеновые, биотит-дунит-пироксеновые, роговообманково-дунит-пироксеновые, пегматиты, гипситы, кальциты.

4 Тонкотошестигранническое
полусоммитное, широкосоммитное и узкосоммит-
ные сланцы. В верхней части прослоек мраморов мощ-
ность 50-60 м. •

биотит-тироксеновые, биотит-дуптироксеновые, пироксен-ротовообманковые, дуптироксен-гипотоносмансиновые кристаллические сланцы, рапакит-травертин-биотитовые.

ые, гранатовые гнейсы
 6. Биотит-диоритированные, биотит-тироксеновые, роговообмикново-диоритированные, пироксен-

ротовообмаковые, лягушкообразные, кристаллические сланцы

ые, роговообмаково-двутироксеновые, реже пироксен-рогообмаковые, двутироксен-роговообмаковые кристаллические сланцы.

Видимая мощность свиты по разрезу около 2000 м.

ми, реже двутиroxен-ротовобоманковыми кристаллическими сланца-ми с прослойками гранат-биотитовых, биотит-гранатовых, гранатовых гнейсов, линзами и прослойками минерализованных мраморов.

Кристаллические сланцы нижнесунганинской свиты представляют собой зеленовато-серые, серые лейкократовые и макрократовые породы с мелко- и среднезернистой структурой, гнейсовой, иногда полосчатой текстурой. Породообразующими минералами являются: плагиоклаз (50–70%), моноклинный приroxен (10–20%), гиперстен (10–15%), роговая обманка (до 15–20%), биотит (2–25%). Перечисленные выше разности кристаллических сланцев визуально в зависимости от содержания и количественных взаимоотношений цветных минералов. Среди акцессорных встречаются магнетит, апатит, циркон. Плагиоклаз представлен андезитом № 35–45. Моноклинный приroxен диопсид-геденбергитового ряда, в шлифе светло-зеленый, почти бесцветный. Биотит красно-бурый, передко развивается по пироксену. Роговая обманка характеризуется бурой окраской, повышенным содержанием титана и железа, находится в парагенезисе с пироксеном, иногда замещая его. Структура пород гранобластовая, гетерогранобластовая, в присутствии биотита лепидогранобластовая. Гранатодержащие разности кристаллических сланцев содержат до 10% граната приол-альмандинового ряда (показатель пре-ломления 1,795).

Гранат-биотитовые, биотит-гранатовые, гранатовые, графит-гранат-биотитовые гнейсы аналогичны соответствующим породам, описанным в составе ульчинской свиты.

Минерализованные мраморы помимо карбонатных минералов, кальцита и доломита (60–80%) содержат диопсид (5–20%), шпинель (до 10%), флогопит, графит, иногда парасит, скаполит. Структура гранобластовая.

Видимая мощность нижнесунганинской свиты около 2000 м.

В пределах района образования тымитонской серии подвергнуты более позднему, нижнепротерозойскому (Дзевановский, 1961) дифференцирую. Процессы дифференциации (ретрессивного метаморфизма) проявлены в зоне, противоположающей с севера зону Станового глубинного разлома и западнее Автенинского разлома. Ширина зоны 2–4 км, по правобережью р. Чаката и в верховых р. Утуруга увеличивается до 7–8 км. Выражены процессы ретрессивного метаморфизма в образовании дифференцированных пород и дифферитов. В дифференцированных породах, относящихся к амфиболитовой фации, большая часть минералов замещена вторичными – биотитом, мусковитом, эпидотом, роговой обманкой. Однако реликты первичных

минералов встречаются повсеместно. Наряду со вторичной блестящей текстурой различаются первичные структуры. Диафториты представляют собой тонкорасчлененные мелко- и среднечешуйчатые породы серого, зеленовато-серого, зеленого цвета с лейцитогранобластовой, нематобластовой, бластогнатакластической структурой. Породы состоят из биотита, сериита, мусковита, актинолита, тремолита, хлорита, эпидота, квадра, альбита.

Эти минералы находятся в различных количественных взаимоотношениях и образуют мусковит-хлорит-кварцевые, актинолит-хлоритовые, кварц-сернистые, актинолит-хлорит-биотитовые и др. сланцы, относящиеся к филлитовой и зеленосланцевой фациям метаморфизма. Образование этих пород за счет регressiveного метаморфизма архейских пород ульчинской и нижнесунганинской свит доказывается присутствием среди диафторитов разностей, содержащих реликты минералов, характеризующих породы арея (гиперстен, гранат и т.д.).

Вышележащие свиты тымитонской серии в районе не обнаружены. По крупному региональному Автеникурскому разложу породы ульчинской свиты соединяются с породами верхних свит джелтулинской серии.

Джелтулинская серия

Образования джелтулинской серии развиты на северо-востоке и представлены породами верхней подсвиты худурканской свиты и альянтарской свиты.

Худурканская свита. Верхняя подсвита (A_{hd}^f). Породы верхней подсвиты худурканской свиты развиты на междугорье Артыка, Автеника и Тусаны. Нижний контакт верхней подсвиты худурканской свиты в районе не обнаруживается. По составу верхняя подсвита представляет собой монотонную толщу мелакратовых кристаллических сланцев основного состава: роговообманково-приroxеновых, роговообманково-двутиroxеновых, двутиroxеновых, гиперстеновых, реже приroxен-роговообманковых, двутиroxен-роговообманковых. Сланцы обладают темной зеленовато-серой, почти черной окраской, среднезернистой структурой, гнейсовой, частично массивной текстурой. Главные минералы состоят из плагиоклаза (50–60%), представленного андезитом № 35–45, моноклинного приroxена диопсид-геденбергитового ряда (20–30%), гиперстена (10–20%), роговой обманки (15–30%) и биотита (3–7%). Аксессорные – магнетит (до 5%), апатит, циркон. В разностях, затронутых

магнитизацией, отмечается присутствие нерешетчатого калиевого полевого шата (до 20-30%) и повышенное содержание биотита (до 20%). Роговая обманка, в отличие от кристаллических сланцев нижесунганинской свиты, вторичная, характеризуется буровато-зеленой окраской, замещает пироксен. Переисчленные разности кристаллических сланцев отличаются между собой лишь количественными взаимоотношениями темноводных минералов. Структура пород гранобластовая, пегматогранобластовая, в разностях с биотитом — лепидогранобластовая.

Видимая мощность верхней полсвиты худурканской свиты в районе составляет около 2000 м.

Принадлежность рассмотренных пород к худурканской свите определяется залеганием их в пределах территории листов №-52-У, УГ на образований, слагающих более нижне части худурканской свиты, в свою очередь залегающих на сутамской свите джелтулинской серии (Казмин и др., 1960).

Альванарская свита (Алв.) обнаруживается в северо-восточной части района, на водоразделе рек Артык-Туссаны, Алынкур-Туссаны. Альванарская свита связана с верхней полсвитой худурканской свиты постепенными переходами, в связи с чем граница между ними проводится условно по появлению значительного количества биотит-типерстеновых, гиперстен-биотитовых гнейсов и мраморов. В составе альванарской свиты преобладающую роль играют роговообманково-пироксеновые, роговообманково-двупироксеновые, биотит-роговоб-манково-двупироксеновые кристаллические сланцы, биотит-типер-стеновые, биотит-двукирексеновые, гиперстен-биотитовые гнейсы, содержащие прослои и линзы мощностью 10-50 м (иногда метровые пропластики) минерализованных мраморов и кальцифиров. Количество и мощность этих прослоев быстро меняется по простиранию.

Биотит-типерстеновые, биотит-двукирексеновые, гиперстен-биотитовые гнейсы представляют собой зеленовато-серые лейкократовые породы с мало-среднезернистой структурой, гнейсояйной, полосчатой текстурой. Они состоят из плагиоклаза-андезина № 37-45 (30-50%), кварца (до 30%), калиевого полевого шата (0-20%), гиперстена (0-10%), пироксена (3-20%), биотита (10-30%) и роговой обманки (до 10%). Аксессорные — апатит, сфен, диксон. Структура гранобластовая, лепидогранобластовая.

Кристаллические сланцы альванарской свиты по составу, структурным и текстурным особенностям аналогичны соответствующим породам верхней полсвиты худурканской свиты.

Мраморы белые, средне- и крупнозернистые, в некоторых про-

слой совершенно чистые, в других — с диопсидом (до 20%), форстеритом, хондролитом, тремолитом, иногда флогопитом.

Видимая мощность альванарской свиты около 1800 м.

Отнесение рассмотренных выше в составе верхней полсвиты худурканской свиты и альванарской свиты образований, обнаружившихся восточнее регионального Авгеникского разлома, именно к надсунганская части джелтулинской серии (худурканская и альванарская свиты) основано на следующих данных. Восточнее, на плосади листов №-52-У, УГ выше сутамской свиты, сложенной гранатогодерущими гнейсами с прослоями мраморов, в довольно простой крупной синклинальной структуре (альванарская синклиналь), подтвержденной многочисленными элементами залегания, залегает мощная (8-9 м) толща гиперстеновых кристаллосланцев и гнейсов с большим количеством мраморов, выделенная в качестве надсутамской части разреза джелтулинской серии (Казмин, 1960).

Эта толща, стратотип которой изучен на плосаде листа

№-52-У, подразделена на худурканскую и альванарскую свиты. По простиранию к северо-западу образования этих свит через территорию листа №-52-У протягиваются на площадь листа 0-52-ХХХI, где они также залегают согласно на сутамской свите, выделенной здесь в качестве стратотипа. Отнесение образований, выделенных в худурканскую и альванарскую свиты на площади листов №-52-У-УГ, к надсутамской части джелтулинской серии не является бесспорным.

В связи с выделением в последнее время в основании тимптонской серии улунчинской свиты, состоящей в основном из гранатодержащих пород, становится возможной несколько иная трактовка стратиграфии архей южной и юго-восточной части Алданского щита и в частности территории упомянутых выше листов. Предполагается сопоставление сутамской, худурканской и альванарской свит джелтулинской серии к востоку и северо-востоку от Авгеникского разлома с улунчинской, нижесунганинской, верхнесунганинской свитами тимптонской серии к западу и юго-западу от этого же разлома. В этом случае славится под сомнение существование в разрезе архей Алданского щита вообще суганской свиты и джелтулинской свиты. Поскольку подобную трактовку стратиграфического положения архейских толщ в южной части щита нельзя считать показанной, авторы придерживаются мнения, что лежащие к востоку от Авгеникского разлома архейские образования относятся к джелтулинской серии, отдавая должное некоторой условности подобных взаимодов.

Для окончательного решения изложенного выше вопроса необ-

ходили специальные тематические исследования по стратиграфии архея в Центральной и Южной частях Алданского щита.

По существующим представлениям (Даевановский, 1946, 1960; Коржинский, 1939, 1943), первичные породы олиговавших свит были представлены осадочными и вулканогенно-осадочными породами. О первично-осадочном характере пород свидетельствует наличие промплощадок и линз мраморов и гранитодержащих гнейсов.

Архейский возраст описанных образований доказывается наличием парагенетических ассоциаций минералов гранулитовой фации метаморфизма, характерных для пород, слагающих архейский Фундамент большинства щитов мира. Абсолютный возраст архейских пород Алданского щита определяется (по синцену) в 2200–2400 млн. лет (Биноградов, Тугаринов, 1960).

ПРОТЕРОЗОЙСКАЯ ГРУППА

НИЖНИЙ ПРОТЕРОЗОЙ

Нижнепротерозойские образования (становой комплекс) широко распространены в Центральной и Южной частях территории листа, охватывающих бассейны рек Тока, Силакана, Кунгкуна и верхнего течения Алагомы. Они представлены разнообразными породами, метаморфизованными в условиях амфиболитовой фации. Изучение состава нижнепротерозойских пород района, их смена по вертикали, а также геологическая связь с идентичными образованиями, распространенными на смежных площадях, позволили определить место этих пород в общем разрезе нижнепротерозойских толщ Станового хребта в составе иллинской серии.

Иллинская серия

В Иллинской серии в районе выделяются Чильчинская и Кудултинская свиты.

Чильчинская свита (Pt_1, \mathcal{S}^f) обнажается в бассейнах рек Ильдана, Большой и Малый Биранды, в нижнем течении ручьев Гутуны и Бадло-Макита, в долине р. Утулута и в верховьях левого притока р. Авренкура. Нижняя граница свиты в районе не известна. Чильчинская свита сложена преимущественно тонкоколосчатыми биотитовыми, гранат-биотитовыми гнейсами, меньше биотитовыми кристаллическими сланцами, содержащими линзы и прослои мраморов, и в пределах района имеет довольно выдержаный состав.

Следующие два разреза дают представление о строении свиты.

Разрез по р. Ильдану (снизу вверх):

1. Биотитовые гнейсы. Видимая мощность	1000 м
--	--------

2. Диопсид-гранатовые скарнированные породы с гранитом.

80 "

3. Биотитовые гнейсы.

60 "

4. Мрамор скарнированный.

120 "

5. Биотитовые гнейсы.

50 "

6. Мрамор

40 "

7. Биотитовые гнейсы с прослоями гранат-биотитовых гнейсов

800 "

Суммарная мощность около 2200 м.

Разрез по р. Большой Бирандже (снизу вверх):

1. Биотитовые гнейсы. Видимая мощность	40 "
2. Мрамор скарнированный.	80 "
3. Биотитовые гнейсы.	30 "
4. Мрамор скарнированный.	80 "
5. Биотитовые и гранат-биотитовые гнейсы.	600 "
6. Мрамор минерализованный.	80 "
7. Гранат-биотитовые гнейсы	40 "
8. Биотитовые кристаллические сланцы.	500 "
9. Мрамор скарнированный с прослоями рогово-обманкового гнейса.	150 "
10. Биотитовые гнейсы.	100 "
II. Гранат-биотитовые, реже гранат-андидит-биотитовые гнейсы.	100 "
I2. Переклаивание гранат-биотитовых, биотитовых гнейсов и биотитовых кристаллических сланцев.	600 "
Общая мощность около 2500 м.	

Биотитовые гнейсы характеризуются тонкоколосчатой текстурой, тонко зернистым сложением и серовато-бурым "ржавым" цветом. Они состоят из плагиоклаза (40–60%), кварца (30–35%), биотита (20–30%) акцессорных (апатита, циркона), вторичных (хлорита, мусковита, серицита) и рудного минералов. Структура этих гнейсов лейкогранобластовая. Отличительной чертой плагиоклаза (олигоклаза-андезина № 28–30) является слабо выраженное полисинтетическое двойникование или отсутствие его. Вместе с плагиоклазом в лейкократовые полосы обособляется кварц. Биотит красно-коричневый, насыщен включениями циркона, образует скопления неправильной формы и приступает также в виде отдельных зерен. Апатит приурочен к обогащенным биотитом участкам породы.

Гранат-биотитовые гнейсы содержат также гранат (5-15%), который приурочен к меланократовым полосам и замещается биотитом.

Среди биотитовых кристаллических сланцев встречаются разности, состоящие из биотита (10-40%) и кварца (до 60%), биотита (до 50%) и плагиоклаза (до 60%), иногда из одного биотита. Под микроскопом удаётся установить опорядительные встречавшиеся в составе этих пород гранат.

Мраморы белые, средне- и мелкозернистые, с массивной текстурой, грано- и нематогранобластовой структурами. Основная масса сложена кальцитом с редкими зернами доломита, прислоено тремолита и графита. В контакте с интрузией раннемеловых (?) грано-диоритов мраморы скварнированы, состоят из кальцита, диопсида, граната (грессуляра), плагиоклаза, реже кварца, калиевого полевого шпата с примесью амфиболя, флогопита, сапонита и сфена. Скарны иногда содержат кальцит и гранат лишь в качестве примесей и в основном состоят из кварца и полевого шпата; иногда же представляют собой диопсид-гранатовую породу, корродированную более поздним кварцем.

Состав пород, наличие пластов и линз мраморов (иногда с графитом) позволяют считать чильчинскую свиту первично осадочной.

Видимая мощность чильчинской свиты оценивается в 2500 м. Кудуманская свита. Образования кудумянской свиты занимают значительную часть района. Существенно роговообманковый состав слагающих ее пород является характерной чертой кудумянской свиты. По преобладанию определенных петрографо-литологических разностей пород и положению их в тектонических структурах в районе кудумянской свиты подразделяется на две подсвиты: нижнюю и верхнюю.

Нижняя подсвита ($Pt_1 f_1$) обнажена в бассейнах рек Тока (широкое и меридиональное течение), Сивакана и нижнего течения Ялакана, а также в меандре Помати и Родионовского, в верховьях рек Чап-Макита и Аририты, в бассейне верхнего течения рек Горунчи и Авенкута. С нижележащей, чильчинской свитой нижняя подсвита кудумянской свиты связана постепенными переходами. Граница условная, проводится по появлению значительного количества роговообманковых разностей кристаллических сланцев. В составе нижней подсвиты кудумянской свиты главную роль играют гранат-рогообманковые, гранат-биотитовые, гранат-биотит-рогообманковые, гранат-рогообманково-биотитовые, биотит-

рогообманковые, рогообманково-биотитовые кристаллические сланцы и гнейсы, амфиболиты, реже встречаются гранат-эпилот-биотит-рогообманковые, эпилот-биотитовые кристаллические сланцы.

Насыщенность пород макроскопически видимым гранатом, зеленый цвет входящего в их состав биотита, преимущественно рогообманковый состав пород и грубая их зернистость позволяют легко отличить нижнюю подсвиту кудумянской свиты при картировании от других свит.

Наиболее полный разрез нижней подсвиты кудумянской свиты наблюдается по р.Бол.Бирюзке, где на породах чильчинской свиты залегают (снизу вверх):

1. Чередование гранат-биотит-рогообманковых кристаллических сланцев, амфиболитов и гранатовых амфиболов. Прослои гранат-эпилот-биотитовых кристаллических сланцев. 400 м

2. Пересядывание гранат-биотитовых и гранат-рогообманково-биотитовых кристаллических сланцев и гнейсов 600 "

3. Пересядывание эпилотодержащих гранат-биотитовых, гранат-биотит-рогообманковых и гранат-рогообманково-биотитовых кристаллических сланцев. 200 "

4. Эпилотодержащие гранат-биотитовые кристаллические сланцы и гнейсы с прослоями гранат-рогообманковых кристаллических сланцев. 100 "

5. Эпилот- и гранатодержащие рогообманково-биотитовые и биотит-рогообманковые кристаллические сланцы 300 "

6. Гранат-рогообманково-биотитовые и гранат-биотит-рогообманковые кристаллические сланцы и гнейсы. 600 "

7. Гранат-рогообманково-биотитовые кристаллические сланцы, вверх по разрезу сменяющиеся гранат-рогообманковыми разностями. Видимая мощность Общая мощность около 2400 м.

Западнее, по р.Сивакану, средняя и верхняя части нижней подсвиты кудумянской свиты состоят главным образом из гранат-биотит-рогообманковых и гранат-рогообманковых кристаллических сланцев, с равномерно распределенными по разрезу, но маломощными прослойками биотитовых и гранат-биотитовых кристаллических сланцев и гнейсов. На юго-западе, в бассейне меридиональ-

ното течения р.Тока, в разрезе нижней подсвиты, наряду с гранат-

рогообманковыми кристаллическими сланцами и амфиболитами, при-

сутствует значительное количество бесгранатовых биотит-рогооб-

манковых и рогообманково-биотитовых кристаллических сланцев.

Севернее, в бассейне рек Помпти и Родионовского, обнажающиеся

часть нижней подсвиты кудуликанской свиты представлена гранат-

рогообманковыми разновидностями кристаллических сланцев, а в

районе верхних притоков р.Авленкура и верховьев р.Горуна прет-

облашают гранатодержащие рогообманково-биотитовые кристали-

ческие сланцы и гнейсы. В районе широкого течения р.Тока су-

щественно биотитовые гранатодержащие кристаллические сланцы в

низах разреза постепенно сменяются зверх существенно рогооб-

манковыми гранатодержащими кристаллическими сланцами.

Упомянутые выше разновидности кристаллических сланцев

обусловлены различными количественными соотношениями слагающих

их минералов.

Кристаллические сланцы характеризуются темной окраской,

имеют массивную, реже полосчатую текстуру, средне- и мелкосер-

истое склонение, лепидогранобластовую, иногда нематогранобласто-

вую структуры. Породообразующими минералами являются: плагио-

клас – андезин № 30–40 (40–70%), роговая обманка (до 30%), био-

тиит (до 20%), эпилот или клиноцизит (2–7%), гранат (0–30%),

редко кварц (до 10%). Аксессорные представлены сфеноидом, апатитом,

реже цирконом и рудным. Роговая обманка имеет густую синевато-

зеленую окраску в шире, часто замещается эпилотом и зеленовато-

коричневым биотитом. Эпилот является не только вторичным минер-

лом, но и парагенетически засилирует с другими гемицветными

минералами. Гранат образует зерна от 0,5–1 мм до 1,5 см, по гре-

шникам замещается биотитом. В меланократовых разностях кристал-

лических сланцев гранат имеет показатели преломления 1,795–

1,805, в мезократиках – 1,774–1,776. Количество кварца находит-

отмечены рудный минерал, апатит, реже циркон.	
Биотитовые, гранат-биотитовые, эпилот-биотитовые, биотит-	
рогообманковые, гранат-рогообманковые гнейсы представляют	
собой лейкократовые мелко-, среднезернистые породы, лишенные	
гнейсовидной текстуры. Структура гранобластовая, иногда гетеро-	
блластовая. Породообразующие минералы – плагиоклаз (олигоклаз	
№ 24–26) – 50–60%, кварц – 20–30%, роговая обманка – до 20%,	
биотит – 5–10%, эпилот – до 10% и гранат – до 7%. Среди аксес-	
сорных отмечены апатит, клиноцизит и рудный минерал.	
Мощность нижней подсвиты кудуликанской свиты колеблется	
на разных участках от 2000 до 2500 м.	
Верхняя подсвита (Рт, $\frac{h}{d} 2$) распространена в бассейне	
рек Тока (меридиональный отрезок), Сипанана (верхнее течение) и	
Чапы. С нижней подсвитой верхняя подсвита кудуликанской свиты	
связана постепенными переходами, выражавшимися в уменьшении в	
разрезе роли гранатодержащих пород и в увеличении роли рого-	
обманководержащих. Верхняя подсвита сложена, в основном, рого-	
обманковыми, биотит-рогообманковыми, рогообманково-биоти-	
товыми кристаллическими сланцами и амфиболитами. В виде редких	
подчиненных прослоев присутствуют биотитовые, гранат-биотит-	
рогообманковые, гранат-рогообманково-биотитовые кристали-	
ческие сланцы.	
Наиболее полный разрез верхней подсвиты кудуликанской сви-	
ты наблюдается по р.Току, где снизу вверх обнажаются:	
1. Биотитовые и рогообманково-биотито-	
вые кристаллические сланцы и гнейсы с подчинен-	
ными прослоями гранатодержащих разностей. Види-	
мая мощность	300–400 м
2. Чертовование рогообманковых, биотит-	
рогообманковых кристаллических сланцев с еди-	
ническими прослоями гранатодержащих разностей и	
гранатовых амфиболитов.	300–500 "
3. Рогообманково-биотитовые кристаллические сланцы с прослоями амфиболитов и биотит-ро-	
говообманковых кристаллических сланцев.	400–600 "
4. Гранат-рогообманково-биотитовые кри-	
сталлические сланцы и гнейсы.	100 "
5. Переслаивающиеся амфиболиты, рого-	
обманковые и биотит-рогообманковые кристали-	
ческие сланцы. Видимая мощность	700–800 "
Общая видимая мощность разреза составляет 1500–1700 м.	

нижнего протерозоя и раннепротерозойскими лиоритами. Ундыкан-ская свита представлена конгломератами с полчленными прослоями гравелитов и грубозернистых песчаников. Наиболее количество песчанистых прослоев (мощность от 0,1 до 2,0 м) отмечается в нижах ундыканской свиты, где они составляют до 20-30% ее обе-ма. Для конгломератов характерна грубая слоистость, обусловлен-ная чередованием прослоев с преобладанием обломков различного размера (от 0,5 до 60-80 см в поперечнике). Преобладает галька от 1 до 10-15 см. Окатаанность обломочного материала плохая, много угловатых и остроугольных обломков. Представлены они пре-имущественно местными породами: диафторитами (мусковит-хорито-вые, мусковит-биотит-актинолитовые, хлорит-кварцевые и др.слан-цы), диафторированными гранатовыми гнейсами, гранулитами, аля-скитовыми гранитами. Цемент полимиктовый.

Видимая мощность ундыканской свиты 300 м.

Принадлежность рассмотренных образований к ундыканской свите нижнего мела определяется отсутствием в пределах всех фе-прессий юга Алданского цугла мощных монотонных толщ конгломера-тов в разрезе южных пород и наличием их только в ундыканской свите. Нижнеловозовий возраст последней в Токинской депрессии, в 30 км к северу от рамки листа (Гольденберг, 1959; Долник, 1959), на площади листа № 52-1 (Кал и др., 1962) подтвержден на-ходками флоры.

ЧЕТВЕРТИЧНАЯ СИСТЕМА

Четвертичные образования имеют значительное развитие на территории листа и представлены нижне- и верхнечетвертичными базальтами, ниже-среднечетвертичными (?), средне-верхнечетвер-тичными, верхнечетвертичными и современными аллювиальными и верхнечетвертичными ледниковыми рыхлыми отложениями.

Нижне-среднечетвертичные (?) отложения пересечененные (Q_{II-II?})

Эти отложения установлены в уючише Диккуль, на водораз-делах рек Мал.Чапы и Качу, Джиктанды и Амантынка, в долинах рек Тока и Умкана. Нижне-среднечетвертичные (?) отложения пред-ставляют собой реликты отложений древней гидросети и залегают плащом в долинах и местами на современных водоразделах. Они представлены галечниками с примесью валунов и песчано-пaleчными

образованиями, разрез которых из-за плохой обнаженности изучить не удалось. Галечники кварц-полевошпатовые с незначительной примесью темноцветных минералов - биотита и роговой обманки. Галька и валуны обычно хорошо окатаны. Петрографический состав их ха-рактеризуется преобладанием местного материала с незначительным процентом экзотических пород.

Мощность нижне-среднечетвертичных (?) отложений в уроцище Диккуль достигает 60-80 м.

Возраст водораздельных песков и галечников определяется условно как ниже-среднечетвертичный, так как в них вложены алювимальные отложения средне-верхнечетвертичного возраста в районе озер Джулуры, а также на основании сопоставления с районами, расположеннымими выше и примыкающими к Верхне-Дейской депрессии, где для подобных отложений древней гидросети известны словово-пыльевые комплексы, характерные для нижне- и средне-четвертичного времени (Сей, 1960; Федоровский, 1959).

Средне- и верхнечетвертичные отложения пересечененные (Q_{III-II?})

Отложения представлены аллювием, слагающим II-II_U надпоймен-ные террасы р.Алгомы на участке от верховьев до устья р.Артыка, они известны также в районе озер Джулуры. Рассматриваемые обра-зования представлены в разной степени окатанными галькой, гра-видом и разнозернистыми песками при незначительном содержании суплинов и валунов. Петрографический состав окатанных обломков характеризуется преобладанием местных пород метаморфического комплекса докембрия.

II-II_U террасы р.Алгомы (15,20,30-метровые) являются локаль-ными и не могут отождествляться с одноименными террасами других рек территории, так как участок р.Алгомы от верховьев до устья р.Артыка во время коренной перестройки гидросети района, проис-ходившей в верхнечетвертичное время, оставился стабильным. По-следнему этапу соответствуют отложения I надпойменной террасы и более высокие террасы других рек.

Мощность средне-верхнечетвертичных отложений определяется в 30-50 м.

Палинологический комплекс II-II_U надпойменных террас р.Ал-гомы (определения палинологического кабинета ДВГУ) характери-зуется: а) преимущественным распространением пыльцы древесных пород (ольха, береза, лещина, граб), в меньшей степени пыльцы

хвойных (ель, сосна, лиственница); б) преимуществом в подлеске и травянистом покрове являются элаковых, гвоздичных, простоцветниковых, вересковых, а также спор плауновых; в) заметным количеством теплолюбивых растений (*Мытка*, *Сарпинка*, *Щеголиха* и единичных форм *Juglans*). Присутствие в спектре теплолюбивых форм позволяет отнести описанные отложения к среднему-верхнему отделам четвертичной системы.

Нижне-верхнечетвертичные образования нерасчлененные

Оливиновые базальты (р. Ольга-П.) развиты на южном склоне района в бассейнах рек Ультира, Инарги, на водоразделе этих рек, а также в верхнем течении р. Ток. Базальты образуют покровы, заполняющие отрицательные формы древнего (ниже-среднечетвертичного и верхнечетвертичного) рельфа, и залегают на размытой поверхности метаморических и интрузионных пород нижнего протерозоя и интрузионных пород раннемелового (?) возраста. В бассейне рек Ультира, Инарги, по левобережью р. Алагенкура базальтовые покровы имеют сложное строение и состоят из переслаивания нескольких покровов, симметричноющих с многоярусностью изливаний. Нижний покров обладает склонным строением. Нижняя его часть сложена плотными массивными базальтами; в верхней части увеличивается пористость до образования базальтовых шлаков. Подобная закономерность проявляется также в различной степени раскристаллизации пород: от хорошо раскристаллизованных долеритов в низах потока до стекловатых базальтов в его верхней части. В ряде участков в основании покрова наблюдаются лавобрекии, содержащие обломки лав нижележащего размытого покрова. По составу все базальты являются оливиновыми. Они представляют собой темно-серые, реже бурые породы, чаще всего с порфировой структурой, иногда мелдалекаменной текстурой. Характерно наличие во вкраплениниках оливина, реже титан-авгита. В основной массе присутствуют интезитационный полевой шпат (плагиоклаз), пироксен и оливин. В пустотах содержатся адуляр, реже цеолиты. Характерна повышенная щелочность лав и обогащение их титаном. По своему составу лавы близки к трахибазальтовому типу. По характеру изливаний базальты относятся к трещинным, субреальным лавам платформенного типа, приурочены к разрывам, опередившим становой глубинный разлом. Максимальная мощность покровных базальтов составляет около 200 м.

Возраст базальтов как ниже-верхнечетвертичный определяется на основании следующих фактов. По данным Ю.А. Сиротина (1947)

и Э.Э. Аннера (1909-1910), в верховьях р. Ток наблюдается залегание базальтов на древних галечниках, условно ниже-среднечетвертичного возраста. В долине р. Ток (у устья р. Садарак) базальтовый покров залегает на поверхности структурной террасы высотой в 40 м, возраст которой, по геоморфологическим данным, определяется как верхнечетвертичный. В то же время галька оливиновых базальтов содержится в верхне-среднечетвертичных (?) (редкая галька), средне-верхнечетвертичных (до 45% всей гальки), верхне-среднечетвертичных (до 27% всей гальки) и современных (до 25% всей гальки) аллювиальных отложениях р. Ток. Широкий возрастной предел базальтов обуславливается многообразием их изливаний. Анализ распределения базальтов в обломочном материале аллювия р. Ток, проведенный Г.Ф. Лунгерштейном совместно с авторами в 1960 г., позволяет предположительно наметить ряд различных по интенсивности фаз изливаний базальтов: слабые излияния в ниже-четвертичное время; мощные излияния среднечетвертичного времени; значительные излияния в верхнечетвертичное время; слабые излияния в конце верхнечетвертичного времени.

Верхнечетвертичные отложения (Q_{III})

Отложения представлены ледниками (морены) и аллювиальными образованиями. Морены известны во многих пунктах Алгоминского горного массива и в верховьях левых притоков рек Сивакана и Янгакана. Они сложены валунами и слабоокатанной щебенкой, петрографический состав которых определяется составом пород, слагающих стоянки цирков и тротов. Резко подчиненное значение имеет неотсортированные грубозернистые полимитовые пески, щебенистые супеси и суглинки. Большинство морен в районе является образованием каровых ледников, меньшая часть - долинных ледников, т.е. все морены связаны с горнодолинным оледенением, возраст которого для хребтов Станового, Джутыра и Джутджура большинством исследователей (Чемеков, 1961) считается верхнечетвертичным. В соседних с южного склоне районах видовой состав спорово-пыльцевого комплекса морен горнодолинных ледников также характеризует возраст горнодолинного оледенения как верхнечетвертичный (Монкин, Альбов, 1956; Шлак, 1963).

Верхнечетвертичные аллювиальные отложения слагают преимущественно никакие (4-15 м) I и II надподложенные террасы большинства рек района. Они представлены хорошо окатанными валунами и галечниками, перемежающимися с прослоями плохо отсортированных разнозернистых песков, реже суглинков. Иногда встречаются линзы

травия. Петрографический состав окатанных обломков разнообразен: различные гнейсы, кристаллические сланцы, интрузивные породы, песчаники и базальты.

М

ощность верхнечетвертичных отложений достигает 20-40 м. Верхнечетвертичный возраст отложений низких террас в бассейне р.Алтана устанавливается на основании определений палинологического комплекса I и II террас (4 и 6 м) р.Авгентура (определения палинологического кабинета ДГУ). Верхнечетвертичный возраст отложений низких террас (I-II) в Зейском бассейне определяется на основании сопоставления с подобными отложениями в соседних районах верховьев р.Зеи, где этот возраст подтверждены данными спорово-пыльцевого анализа (Мошкин, Альбов, 1956).

К верхнечетвертичным отложениям условно отнесены отложения III-IV террас (30-60 м) р.Тока в районе устья р.Корала-Чардата, поскольку образование их связано с интенсивным врезом р.Тока, обусловленным понижением базиса эрозии в связи с перестройкой гидросети в этапы, синхронные максимальным горным поднятиям и оледенению в верхнечетвертичное время.

Современные отложения (Q_T)

Отложения представлены аллювием современных водотоков, слагающим низкую и высокую плоскости. Современный аллювий представлен галечниками, валунами, песком, реже глиной, илами, супесью и суглинком. Петрографический состав галек и валунов современного аллювия самый разнообразный, с преобладанием местного материала. Окатаанность их в большинстве своем хорошая. Видимая мощность современного аллювия достигает 10 м.

ИНТРУЗИВНЫЕ ОБРАЗОВАНИЯ

Интрузивные породы на территории листа пользуются широким развитием и играют важную роль в ее геологическом строении. По времени образования выделяются архейские, раннепротерозойские, палеозойские (?) и раннемеловые (?) интрузии.

АРХЕЙСКИЕ ИНТРУЗИИ

Архейские интрузивные образования развиты в северной части территории, относящейся к южной окраине Алданского щита. Среди

них выделяются гиперстоновые плагиограниты и более молодые аляскитовые граниты.

Платиграниты гиперстоновые

(1_A) распространены в долине р.Альбонок, бассейне р.Бадис-Макит, где они наблюдаются чаще всего в виде постоянных согласных тел мощностью от 10-20 см до 100-150 м и настолько сильно мигматизируют породы нижнесунгинской свиты, что последние наблюдаются в виде гранитизированных постложных ксенонитов. Лишь на водоразделе рек Альбонка и Бадис-Макита закартировано несколько массивов плагиогранитов площадью от 0,5 до 2 км². Переход от пород метаморфического субстрата к плагиогранитам постепенный, через мигматиты, причем интенсивность мигматизации повышается по мере приближения к массивам.

По внешней облику плагиограниты — серые мелкозернистые породы с гнейсовидной текстурой. Их основными породообразующими минералами являются: плагиоклаз (40-65%), кварц (17-35%), гиперстен (3-10%). В небольших количествах как второстепенные минералы присутствуют биотит, роговая обманка, кальций полевой шпат и акессорные — магнетит и апатит. Вторичные минералы представлены уралитом, актинолитом, биотитом, хлоритом, серидитом и эпидотом. Структура породы гранобластовая, бластогранитная. Плагиоклаз, представленный андезин-олигоклазом (#25-30), сдвоенно-ван по альбитовому закону. Гиперстен образует идиоморфные кристаллы (до 1,5 мм), интенсивно замещается тонкоколюстистыми агрегатами актинолита, часто обрамлен эзумами каемками уралита. Каолинизированный полевой шпат встречается в плагиогранитах как исключение. Он образует антиперититовые срастания с ним.

Описанные плагиограниты отнесены к архейским образованиям на том основании, что они мигматизируют архейские метаморфические толщи, участвуют в строении складчатых структур архей и сдвиги прорываются архейскими аляскитовыми гранитами.

Граниты аляскинские (1_3A) развиты в поле распространения архейских пород повсеместно, но наиболее часто встречаются в зернице р.Чакатая и в долинах рек Авгентура, Артыка и Туксаны. Аляскитовые граниты образуют массивы, согласные с вмещающими породами, и окружены широкими полями мигматизаций. Преобладают послойные мигматиты, переходящие ближе к массивам аляскитовых гранитов в тоневые ультрамигматиты. Родственные аляскитовым гранитам образованиями являются восточенные массивы массивов последних согласные и секущие жилы ортотектитов. Макроскопически аляскитовые граниты представляют собой

мелко- и средне-, реже крупнозернистые породы красного, розово-го и белого цвета, с массивной или гнейсовой текстурой. В составе гранитов принимают участие: калиевый полевой шпат (30–60%), плагиоклаз (10–40%), кварц (20–35%), биотит (2–5%), гиперстен (0–5%), диопсид (0–3%), роговая обманка (0–5%) и акцессорные – магнетит, актинолит и циркон. При вторичных процессах развиваются серцит, хлорит, актинолит, эпидот, доизит. Структура гранитов гранобластовая, бластогранитная, тетрагранобла-стовая, бластомилонитовая, редко гранитная. Калиевый полевой шпат представлен перитоитом или микроперитоитом микроклином, корродированным и замещающим плагиоклаз. Плагиоклаз в гранитах присутствует не всегда. Обычно он образует мицелловые прора-стания с кварцем на стыках с зернами калиевого полевого шпата и иногда кварца. Активно замещается серцитом, эпидотом, доизитом. Гиперстен, диопсид и роговая обманка встречаются, в основном, в эндоконтактовых частях интрузий.

Альбитовые граниты на значительной площади интенсивно митматизируют архейские толщи и не встречаются среди протерозой-ских пород. Архейский возраст альбитовых гранитов подтверждается также определениями абсолютного возраста (по свинцу) в 2300 млн. лет в центральной и юго-восточной частях Алансского щита, за пределами района (Быноградов, Тутаринов, 1960).

С альбитовыми гранитами в районе связана редкоzemельная минерализация (моанит) в митматитах и жилах ортотекитов.

РАННЕПРОТЕРОЗОЙСКИЕ ИНТРУЗИИ

Среди раннепротерозойских интрузивных пород в возрастной последовательности выделяются: габбро-амфиболиты, габбро, пироксениты, граниты и плагиограниты биотитовые, гнейсовые, кварцевые диориты, гранодиориты и плагиограниты гнейсовые.

Г а б б р о – а м ф и б о л и т ы , г а б б р о , п и -
р о к с е н и т ы (vP_{T_1}) слагают массив площадью 30 км², рас-
положенный на левом берегу р. Авгенкур, и массив площадью около 1 км² в верховьях р. Бадис-Макит. Кроме того, сюда же относятся многочисленные линзы и "пластины" амфиболитов и секущие тела паб-бро-амфиболитов в составе метаморфических образований кудули-канской свиты нижнего протерозоя, из-за незначительных размеров не показанные на геологической карте.

Массив в бассейне р. Авгенкура обнаруживает структурную

приуроченность к сочленению глубинного Станового и Авгенкурско-го разломов. Выделяющиеся породы представлены метаморфическими об-разованиями архея, причем контакты массива с замещающими порода-ми резкие, секущие. Основную роль в строении массива играют габбро и амфиболиты; подчиненное значение имеют амфиболизирован-ные таббро и амфиболизированные и биотитизированные пироксениты.

Габбро-амфиболиты – темно-серые, серые массивные или по-лосчатые породы, состоящие из плагиоклаза (андезин № 30–34) – 40–60%, обикновенной роговой обманки – 15–40%, биотита – до 15%, кварца – до 5% и различных акцессорных минералов (магнетит, апа-тизит и др.). При подавляющем значении блasticеских структур, для пород этой группы характерна реликтовая габбровая структура.

Габбро состоит из плагиоклаза (андезин-лабрадор № 47–57) – 50–60%, диопсида – 20–25%, роговой обманки – 10–15%, граната – 3–5%, который появляется в эндоконтактовой зоне массива в ре-зультате ассимиляции вмещающих пород (гранулитов); редко встре-чаются гиперстен, рудный минерал и апатит.

Пироксениты и их амфиболизированные и биотитизированные разности встречаются в послойных и широобразных обособлениях и представляют собой плотные, средне- крупнозернистые породы. В них участвуют гиперстен – 30–40%, диопсид – 20–25%, плагиоклаз – 10%, шинель и магнетит – 1–2%. Основную массу слагают, как правило, вторичные минералы – актинолит – 50–60% и биотит – 15%. Структура гранобластовая с реликтами панициоморфной.

В зоне, примыкающей к Становому разрыву, габбро-амфиболи-ты рассланцованны и диафторированы. Роговая обманка интенсивно замещается хлоритом и актинолитом; появляются бластоконтакти-ческие структуры.

Возраст габбро-амфиболитов и амфиболитов определяется в становой области как раннепротерозойский на том основании, что они, интрудируя гнейсы и кристаллические сланцы иликанской се-рии нижнего протерозоя, секутся, в свою очередь, жилами нижне-протерозойских гранитов, принадлежность которых к нижнему про-терозою установлена по данным абсолютного возраста.

Возраст габбро-амфиболитов, габбро- и пироксенитов массива в долине р. Авгенкур как раннепротерозойский определен услов-но на основании тождества состава и структуры слагающих его пород с подобными раннепротерозойскими интрузиями в становой области.

Г р а н и т ы и п л а г i o г r a n i t ы ("Д р е з -
и с т а н о в и е") б и o t i t o v y e т h e i s o v i d -
n i e (vP_{T_1}) развиты преимущественно в юго-западной части

территории листа (бассейн р.Кунгур), где они слагают северо-западное окончание крупного массива типа мигматита, расположенного за пределами описываемого района. Несколько небольших массивов, прорвавших метаморфические толщи архейского возраста, развито в бассейнах рек Таранаха и Утууга. Кроме того, эти гранитоиды образуют множество мелких пластовых тел, насыщающих гнейсы и кристаллические сланцы иликанской серии. С метаморфическими породами архея граниты имеют четкие контакты. Четких контактов с гнейсами и кристаллическими сланцами нижнего протерозоя не имеют. Они окуружены широкими ореолами мигматизации, в которых можно встретить все морфологические типы мигматитов — от постлужных до тензин. Для внутреннего строения массивов характерно наличие среди гранитоидов многочисленных реликтовых участков (силоситов) вмещающих пород. Почти повсеместно в массивах проявлены гнейсоминости, особенно четко выраженная в их краевых частях. Гнейсомидная текстура обусловлена ориентированным расположением биотита и удлиненными выделениями кварца. Граниты обычно имеют серую и розовато-серую окраску, мелко- или среднезернистое, реже пегматоидное сложение.

Основными породообразующими минералами гранитоидов являются плагиоклаз (олигоклаз № 24-27) — 45–50%, кварц — 25–30%, калиевый полевой шпат — 20–25%, биотит — 2–8%. Аксессорные минералы представлены ортитом, апатитом, магнетитом, сфеном, реже цирконом и рутилом. Из постмагматических минералов следует отметить эпидот, реже калинодиоксит и хлорит. В массивах в бассейнах рек Утууга, Таранаха по биотиту развивается мусковит (до 57%). В краевых частях массивов встречается гранат. Структура гранитов гранобластовая, лепидогранобластовая, гетерогранобластовая, иногда алитотриоморфозеистая.

Средний химический состав гранитов следующий (в %): SiO_2 — 73,0; TiO_2 — 0,05; Al_2O_3 — 14,81; Fe_{2}O_3 — 0,54; MnO — 0,02; MgO — 0,45; CaO — 1,25; Na_2O — 4,74; K_2O — 3,98. Результаты анализа позволяют отнести граниты к группе пород, пересеченных SiO_2 и Al_2O_3 . Для них характерно обогащение полевыми при преобладании Na над K и низкое содержание Ca и Mg.

По своему генезису рассматриваемые гранитоиды большинством исследователей (Дзензенский, Судников, 1960; Моткин, 1961) считаются палеотектонико-метасоматическими. Возраст этих гранитов определяется их тесной структурной связью с вмещающими породами, напластованием вокруг них широких ореолов мигматизации. Определение абсолютного возраста рассматриваемых древнестанических гранитов в западной и центральной частях Станового хребта (по свинцу) в

190±100 млн. лет позволяет датировать время их образования нижним протерозоем (Виноградов, Гутаринов, 1960).

Хильдий серия омититовых гранитов является широко распространенные пегматиты, из-за масштаба не показанные на геологической карте. Пегматитовые поля показаны на карте полезных ископаемых. Мощность пегматитовых жил — от первых сантиметров до 10 м, протяженность — от первых метров до десятков метров.

По составу пегматиты чаще всего плагиоклазовые, состоят из плагиоклаза (до 60%), кварца (до 40%), биотита (до 10%), но иногда содержит калиевый полевой шпат (до 30%) и мусковит. Образование мусковита связывается Д.С.Коржинским (Коржинский, 1959) с пневматитовой фазой древнестанового метаморфизма. В районе выделяется три зоны мусковитизации: в верховых рек Чакатах, Таранаха, Утууга, по левобережью р.Сивакана и на Меджуречье Угана — Кунгур. В пределах первых двух зон известны проявления кондиционного мусковита.

Помимо мусковита с рассматриваемыми гранитоидами (с гидротермальной их фазой) Д.С.Коржинским (1959 г.) связывается золотое оруденение в диаборитах, имеющее место и в пределах района (р.Бадис-Макат). В центральной части Станового хребта с нижнепротеровийскими древнестановыми транзитами связаны проявления редкоземельной минерализации (ортит, цевекнит).

Кварцевые диориты и диориты ($\delta \text{Sr}_{\text{1}}$), гранодиориты и плагиограниты ($\delta \text{Sr}_{\text{2}}$) гнейсомиевые занмают обширные площади в центральной части изученной территории (Меджуречье Тока и Алагы), где они прорывают метаморфические породы иликанской серии нижнего протерозоя. Судя по замерам полосчатости, интрузии залегают согласно с вмещающими породами и являются конкордантными. В восточной части крупного массива в бассейне р.Тока заключены крупные останцы вмещающих пород, насыщенные многочисленными пластовыми телами диоритов и кварцевых диоритов. В основном, массивы сложены гнейсомиевыми и массивными кварцевыми диоритами и диоритами. Реже встречаются гранодиориты и плагиограниты. Все эти разновидности связаны между собой постепенными переходами, а распределение их в массивах не обнаруживает какой-либо закономерности. То же самое касается и текстурных особенностей пород. В целом для массивов характерно преобладание в центральных частях массивных текстур, быстро сменяющихся на полосчатые и гнейсомидные.

Для рассматриваемых пород характерно отсутствие четких интрузивных контактов, постепенные переходы от гнейсомидных

диоритов через полосчатые и теневые мигматиты к гнейсам и кристаллическим останцам. Мигматитовый ореол вокруг массива не широк — порядка 0,2–0,3 км, реже до 1–1,5 км. Характерна способность кварцевых диоритов и диоритов к асимиляции, гибридизму вмещающих пород. Так, в бассейне р. Лев. Сивакан, где кварцевые диориты прорывают гранатоодержащие породы чильчинской свиты, в них самки появляются крупная и обильная вкрапленность граната, образующего порфироблести до 0,5–1 см.

Наиболее распространением пользуются кварцевые и кварцодержащие диориты — серые среднезернистые породы, имеющие пнейковидную, реже массивную текстуру и состоящие из плагиомагнетит-андезина (олигоклав-андезин № 28–32) — 60–70%, роговой обманки, образующей симплекситовые прорастания с кварцем — 3–14%, биотита — 4–12%, кварца — 3–20%, реже калиевого полевого шпата — 0–7%. Транат, пироксен, сфеен, апатит и ортит являются акцессорными минералами. Вторичные процессы выражаются в образовании эпидота и скаполита.

Биотит-роговообманковые и роговообманково-биотитовые гранодиориты и плагиограниты имеют резко подчиненное значение. От диоритов они отличаются лишь количественными колебаниями в mineralном составе. Так, содержание кварца в плагиогранитах поднимается до 35%. Соответственно ограничивается роль геминопеллитовых минералов (10–12%). Наиболее распространением пользуются породы с альбитогранитовой и аллотротоморфоварилистой структурами, реже наблюдаются гипидиоморфные, гранобластовые, петробластовые и лепидогранобластовые структуры.

Химический состав кварцевых диоритов (образцы с зодорадела Алтами и Тока) следующий (в %): SiO_2 — 54,54; TiO_2 — 0,22; Al_2O_3 — 20,24; Fe_{2}O_3 — 2,48; FeO — 3,42; MnO — 0,27; MgO — 3,98; CaO — 8,02; Na_2O — 3,78; K_2O — 1,73.

Нижняя возрастная граница рассмотренных интрузий определяется тем, что они прорывают нижнепротерозойские породы иликанской серии и древнеставловые гранитиды. Верхний возрастной предел не установлен, однако, пространственная и структурная связь диоритов с нижнепротерозойскими метаморфическими образованиями, конкордантный тип интрузии, а также мигматизация диоритами нижнепротерозойских вмещающих пород позволяют предполагать, что формирование рассматриваемых интрузий проходило во время нижнепротерозойской орогении.

ПАЛЕОЗОЙСКИЕ (?) ИНТРУЗИИ

Перидотиты («Рз»?) образуют две небольшие площади (около 0,5 км²) штокобразных массивов по правому приотку р. Кунгуй, где они прорывают раннепротерозойские (древнестановые) граниты.

Перидотиты — массивные, среднезернистые, черного цвета породы, состоящие из оливина (65%), пироксена (до 18%), биотита (5%). Аксессорные представлены рудным минералом, хромитом, апатитом, вторичные — амфиболом (до 15%), серпентином (до 10%), магнетитом и хлоритом. Структура перидотитов гипидиоморфоваристая.

Для определения возраста описанных ультраосновных интрузий конкретных данных не имеется. Полное отсутствие среди них областических структур, свежий облик, факт прорывания перидотитами древнестановых гранитов позволяют считать их более молодыми, чем подобные образования нижнего протерозоя. В то же время присутствие аналогичных пород в составе гальки верхнемиерских — нижнемеловых конгломератов угансской свиты на смежных с юга терриориях (Федоровский, 1959) свидетельствует о верхнемеловом их возрасте. В связи с этим возраст перидотитов условно определяется как палеозойский.

РАННЕМЕЛОВЫЕ (?) ИНТРУЗИИ

Раннемеловые интрузии представлены широкой гаммой гипабиссальных пород, среди которых в возрастной последовательности выделяются: биотит-роговообманковые гранодиориты, граниты, кварцевые диориты, диориты; гранодиорит-торфмы; граниты лейкократовые биотитовые; гранодиорит-порфирь и гранит-порфирь, диоритовые порфириты (дайки).

Биотит-роговообманковые гранодиориты и граниты («Рз»?), кварцевые диориты и диориты («Д01») слагают два крупных и несколько мелких массивов. Наиболее крупный из них имеет площадь около 950 км² и расположен в бассейне рек Нуана, Чань, Тока и Сивакана. Восточнее, в бассейне верхнего течения р. Намути, находится окончание куполового массива, основная часть которого лежит за пределами плато листа. Мелкие массивы расположаются в междууречье Тока и Алтами и в бассейне р. Кунгуй.

Интузии раннемеловых (?) гранитоидов прорывают метаморфические породы нижнего протерозоя и раннепротерозойские граниты и гранодиориты. Контактовые изменения имеющих пород выражались в образовании скаров и снарированных альмосиликатных пород по карбонатным породам илинганской серии в бассейне левых притоков р.Сивакана и в верховьях р.Джилинды. Во временных нижнепротерозойских гнейсах, кристаллических сланцах и гранитоидах контактовых изогенений не отмечается.

По условиям залегания и своей форме массивы раннемеловых (?) гранодиоритов представляют собой гипабиссальные трещинные интузии с пологими (до 30–40°) контактами, которые отчетливо картируются в бассейне р.Нашуги и в левых верхних притоках рек Ток и Сивакан.

В основном рассматриваемые интузии сложены неравномерно-зернистыми, среднезернистыми и слабо порфировидными гранодиоритами, реже гранитами, связанными с гранодиоритами постепенными переходами. Граниты чаще встречаются в верховых рек Нумы, Налды, на небольших расстояниях сменяются гранодиоритами, значительных площадей не слагают, в связи с чем на геологической карте отдельно не выделены. Эндоконтактовые части интузии в верховых бассейнах рек Нумы, Чапы, Налды, в долине р.Ток сложены редко порфировидными разностями гранодиоритов с мелкозернистой и микрозернистой основной массой, что подчеркивает гипабиссальный характер массивов. По рекам Ултирикану, Налды-Зимо-въчи, Намытыку в эндоконтактной зоне гранодиорита постепенно переходят через кварцевые диориты в диориты. Здесь в эндоконтакте выделяется зона гибридных пород: кварцевые диориты и диориты содержат многочисленные ксенолиты, переработанные до состава микродиоритов, амфиболитов, и сами характеризуются редко изменчивым токсистым составом, протокластическими структурами, пятивицетными текстурами за счет обогащения отдельных участков темноцветными минералами.

Гранодиориты – среднезернистые, иногда неравномернозернистые или слаболордиоритовые породы серого цвета, состоящие из плагиоклаза (25–50%), калиевого полевого шпата (20–45%) и кварца (15–30%). Цветные минералы (5–15%) представлены биотитом и апатитом, рулевый минерал, ортит и циркон. Из вторичных минералов наиболее часто встречаются пеллит, серпентит, хлорит, карбонат, биотит, эпидот и цоизит. На долю последних, как правило, приходится 3–4% породы, а в сильно измененных разностях количество вторичных минералов возрастает до 20–30%. Структура гранодиоритов – гранитная, как исключение – монцонитовая. Плагиоклаз обнаруживает четкое двойниковое строение и обладает прямой зональностью. Состав центральных зон отвечает андезину № 32–45, а по периферии – олигоклазу № 29–33. На границе с зернами кальциевого полевого шпата, представленного ортоклазом и микроклином, как правило, присутствует мицеликиты. Плагиоклаз очень слабо пелитизирован и серпентинизирован. Изредка происходит его замещение карбонатом. Биотит и роговая обманка образуют идиоморфные, хорошо ограниченные кристаллы. Для гранодиоритов (района р.Нашуги) характерен следующий химический состав: SiO_2 – 68,8%; TiO_2 – 0,38%; Al_2O_3 – 14,2%; Fe_2O_3 – 1,7%; FeO – 1,8%; MnO – 0,07%; MgO – 1,3%; CaO – 2,7%; Na_2O – 4,2%; K_2O – 3,6%, позволяющий отнести их к группе нормальных пород, слабо пересыщенных альманием.

Граниты содержат кварца до 25–30%. Количественные соотношения плагиоклаза (олигоклаза № 25–27) и калиевого полевого шпата примерно равные. Кварцевые диориты и диориты отличаются большим (до 20–25%) содержанием цветных минералов и меньшим содержанием калиевого полевого шпата и кварца (до 10%). Плагиоклаз составляет андезина № 30–42.

Гранодиорит – порфирит (т.г. сх₁?) слагают два небольших массива (до 4 км²) в верхнем течении р.Курум-Кунгуда и на левобережье р.Тока и прорывают раннемеловые (?) гранодиориты. Гранодиорит-порфирит обладает порфировой структурой и скрытокристаллическим строением основной массы. В порфировых вкраплениях присутствуют плагиоклаз, калиевый полевой шпат, биотит и роговая обманка. На долю основной массы приходится 30–90% объема породы. В состав ее входит кварц, плагиоклаз, калиевый полевой шпат, биотит, роговая обманка. Структура основной массы микролегматитовая, микрогранулитовая, микраллитовая. Граниты лейкократовые биотитовые (т.г. сх₂?) слагают несколько мелких (до 2 км²) стоков на правобережье р.Нумы, в устье р.Чапы и в среднем течении р.Сивакана прорывающих раннемеловые (?) гранодиориты.

Лейкократовые граниты представляют собой мелкозернистые, иногда слаболордиоритовые породы серого, розово-серого цвета, состоящие из кварца (до 30%), плагиоклаза (30–40%), калиевого полевого шпата (20–35%), биотита (3–5%). В акцессориях присутствует апатит и рулевый минерал. Вторичные минералы представлены кварцем, пеллитом, серпентитом, хлоритом. Плагиоклаз в основной массе обычно имеет размеры от 0,5 до 1,0 мм. В порфировых вкраплениях он достигает 4–5 мм в поперечнике и обладает четким

извличивым строением и резкой прямой зональностью. В центральных частях кристаллов это олиоклаз № 25-30, в красной зоне — олиоклаз № 18-20. Из вторичных изменений отмечается слабая септилизация плагиоклаза. Калиевый полевой шпат представлен ортогранитом, отличается слабым идиоморфизмом. Характерной особенностю гранитов является наличие многочисленных микролитовых пустот. Структура породы гранитная, текстура миаролитовая, массивная.

Гранодиорит-порфиры и граниты-порфиры ($\text{G}_{\text{p}}\text{f}_{\text{p}}$) слагают даеки имеющие значительные мощности (100-150 м) и протяженность 4-10 км. Поглощающее большинство даек характеризуется северо-восточным или близким к нему простиранием и крутыми, реже пологими углами падения. Большая их часть концентрируется в три латочных поля. Первое расположено на водоразделе рек Бол.Чапы и Аририкты и представлено серией мощных и протяженных даек восток-северо-восточного простирания. Второе поле имеет четкое северо-восточное направление и сложено многочисленными даеками длиной от 0,5 до 10,0 км. Оно расположено в бассейне р.Ток, в районе устья р.Чапы. Характерно веерообразное расположение даек этого поля. Третье поле как бы окаймляет западное окончание гранодиоритового массива бассейна р.Намуги. Оно вытянуто в северо-восточном направлении и сложено многочисленными даеками, приуроченными к зоне рассланцевания.

Основная часть даек сложена гранодиорит-порфирями, реже встречаются крупные даеки диоритовых порфиритов.

Породолит-порфиры обладают резко выраженной порфировой структурой. Порфиролые выделения представлены плагиоклазом (андезин № 32-45), биотитом, роговой обманкой, редко калиевым полевым шпатом. Основная масса состоит из тех же минералов и кварца и обладает микропегматитовой, микропиоклитовой, микролитовой структурой.

Гранит-порфирсы тесно связаны переходами с гранодиорит-порфирами и отличаются от них появлением аквапелеников кварца и увеличением роли калиевого полевого шпата и кварца в основной массе с микролитовой, микропиоклитовой, реже фельзитовой структурой.

Диоритовые порфириты содержат вкрапленники плагиоклаза (андезина № 38-48), роговой обманки, биотита, редко моноклинного пироксена. В состав основной массы входит плагиоклаз (60-80%), роговая обманка и биотит (25-30%). Спорадически присутствуют

монохинный пироксен, кварц и калиевый полевой шпат. Структура основной массы гипидиоморфозернистая, миаролитовая, реже долеритовая.

Кварцевые (или (Q_{q})) также относятся к жилной серии раннемеловых интрузий и прорывают раннемеловые (?) гранодиориты, гранодиорит-порфирь и ложембритические образования. Мощность жилья от долей см до 5-10 м, протяженность от десятков см до первых десятков метров. Жилы сложены кварцем, иногда с примесью (до 10-20%) полевого шпата. Чаще всего они безрудные, реже с вкрапленностью пирита.

Рассмотренные выше интрузии гранодиоритов имеют широкое плодоносное развитие в Становом хребте и хребте Джуликур. Однако возраст их точно не определен. Ю.А.Альбов и В.Н.Молкин (1959) считают гранодиориты нижнемеловыми на основании нахождения нижнемеловых контломератов с флорой некома на их различной поверхности (в верхнем течении р.Улы). А.Г.Кап (1962) датирует возраст гранодиоритов как нижнемеловой, так как на территории листа № 52-1 гранодиориты проявляют нижнемеловые образования, охарактеризованные флорой нижнего мела. Учитывая противоречие в возрасте даек гранодиоритов, он определяется как нижнемеловой условно. Абсолютный возраст гранодиоритов, определенный калий-аргоновым методом на сопредельной с Кига платформе листа № 52-Х (Ломак, 1962Ф, 1963Ф), равен 107, 125 (бассейн р.Мал. Иркана), 124 (долина р.Джиктанды), 131 (р.Намыдляк) млн. лет и не противоречит раннемеловому возрасту.

Возраст гранодиорит-порфиров, лейкократовых гранитов и даек условно определяется как нижнемеловой на основании их текстурной пространственной связи, петрографического и химического сходства с гранодиоритами, с которыми они образуют единый интрузивный комплекс, а также на основании определений абсолютного возраста. По данным Н.П.Ломаки (1962Ф, 1963Ф), на площади листа № 52-Х абсолютный возраст гранодиорит-порфиров равен 117 (р.Сивакан), 132 (р.Ток) млн. лет, а лейкократовых гранитов 99 (р.Джиктанды), 104 (р.Ток) млн. лет (калий-аргоновый метод).

С гидротермальной фазой раннемелового (?) магматизма в районе связана проявления золота, серебра, молибдена; на скрепленных площадях в Становом хребте известны связанные с раннемеловыми (?) интрузиями гранодиоритов скарновые месторождения сферулита и геменита, гидротермальные проявления мели и киновари.

ТЕКТОНИКА

Территория листа N -52-IV расположена в основном в Становой нижнепротерозойской складчатой области и лишь своей северной частью – в пределах южной окраины Алданского щита. В современном плане тектонического строения района следует различать: а) архейские и нижнепротерозойские структуры кристаллического фундамента и б) мезо-кайнозойские структуры платформенного чехла и структуры, связанные с глибовыми деформациями кристаллического фундамента (рис. 2).

Докембрийский кристаллический фундамент

Архейские структуры Алданского щита проявлены в северной части территории, формировавшиеся которой связано с архейским этапом геологического разви-тия. Происходившее в течение этого этапа накопление мощных осадочных толщ, сопровождавшееся излияниями основных амфиболов (впоследствии превращенных в чарноиты), в конце архея заверша-ется складкообразованием в условиях глубинного метаморфизма имагматизма. Свидетельством этого является глубокий метаморфизм алданского комплекса в гранулитовой фации и широкое проявление синорогенных амфиболовых гранитов, интенсивно метаморфизующих метаморфические породы архея.

В пределах территории листа архейский кристаллический фундамент разбит на два блока по Авгеникурскому разлому, проходящему по длине рек Авгеникура и Артыка. Западнее этого разлома складчатый фундамент сложен породами тимптонской серии, восточнее – джелтульской серии.

Складчатая структура западного блока представлена ядром и частью юго-западного крыла Кулунской антиклинали, расположенной, в основном, на территории соседнего с севера листа. Северо-восточное крыло и примыкающая к нему часть ядра срезаны Авгеникурским разломом. В пределах района ось Алтминской антиклинали меняет свое направление от почти меридионального у северной его границы через юго-восточное до широтного на юго-восточную Чакатая и Алтому и вновь до юго-восточного на правобережье р.Алтому. Ядро Алтминской антиклинали сложено преимущественно гнейсами и кристаллическими сланцами ульчинской свиты и имеет довольно сложное строение, обусловленное дополнительными складками более высокого порядка. Последние представлены ориен-тированными, согласно с общим простиранием Алтминской антикли-

нали, сопряженными антиклинальными и синклинальными складками с размахом крыльев от 3 до 5 км и углами падения слоев на крыльях от 30-40° до 60-70°. На водоразделе рек Алтому и Артыка, по правобережью р.Чакатая, отмечаются линейные складки с крутым падением крыльев, опрокинутые к северо-востоку и северу. Наиболее крупной из складок второго порядка является синклинальный прогиб, проходящий от водораздела рек Чакатая и Таранаха через водораздел рек Таранаха и Сивача к верховьям р.Авгеникур и распадающийся, вследствие удаления шарнира, на серию отдельных синклинальных складок, ядра которых выполнены нижнесунганинской свитой. Юго-западное крыло Алтминской синклинали имеет довольно простое строение и сложено породами нижнесунганинской свиты, в целом моноклинально падающими от осевой части в запад-юго-западных румбах под углами в 40-50°. Крыло осложнено поперечными лизынктинами нарушениями, а также редкими линейными складками с размахом крыльев до 1-1,5 км, ориентированными согласно простиранию крыла.

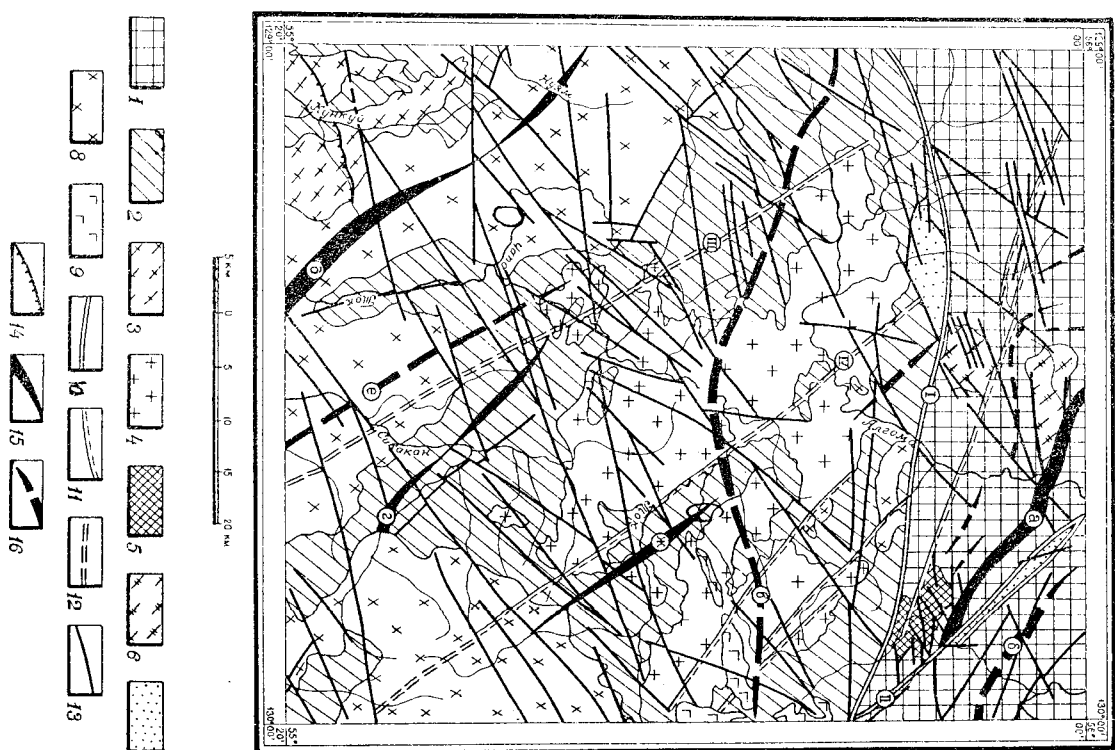
К северо-востоку от Авгеникурского разлома расположен фрагмент крупной Альванарской синклинали, представляющей собой довольно просто построенную линейную симметричную синклиналь северо-западного простирания. Ядро синклинали выполнено гнейсами и сланцами альванарской свиты, крылья сложены сланцами основового состава верхней подсвиты худурской свиты. Падение крыльев 20-60°. Преобладающие пликативные дислокации второго порядка выражены линейными согласными складками с некрутами (30-40°) углами падения их крыльев и размахом последних порядка 500-800 м. Наиболее крупные дополнительные пликативные осложнения представлены сопряженными антиклинальными и синклинальными брахискладками второго порядка по правобережью р.Авгеникур с размахом крыльев до 2-3 км и падением их под углами 30-40°.

В целом для архейских складчатых структур Алданского щита в районе характерно обще их юго-восточное простирание, довольно сложный характер складчатости и отсутствие плойчатости.

Документированые архейские лизынктины в районе не установлены. Это не исключает, однако, заложения части фиксируемых в архейском фундаменте многочисленных разрывов в архейский этап складчатости. В частности, И.К.Дзеванояский на Алданском щите относит к архею заложение Главного Алданского разлома, юго-восточным окончанием которого является в районе Авгеникурский глу-бинный разлом.

Синорогенные интрузии архейских амфиболовых гранитоидов, сопровождающиеся полами штокматов, не обнаруживают четкой при-

Рис. 2. Тектоническая схема



Докембрийский кристаллический фундамент. Архейские структуры Алданского щита: 1 - крупные складчатые структуры, сложенные метаморфическими образованиями гранулитовой фации, осложненные дополнительной линейной складчатостью; 2 - протерозойские структуры: 2 - крупные складчатые структуры, сложенные метаморфическими образованиями амфиболитовой фации, осложненные дополнительной линейной складчатостью, местами плющностью, 3 - симоргенные конкордантные интрузии раннепротерозойских (кваркстоновых) гранитов с широкими полами митматиков, 4 - позднепротерозойские конкордантные интрузии раннепротерозойских диоритов с немицкими полами митматиков; 5 - позднепротерозойские (девоностановые) граниты.

Мезо-кайнозойский палеорифтерический цех и структуры, связанные с глибозами деформации кристаллического фундамента в мезо-кайнозое: 7 - грабены, выполненные моноклинально залегающими мезозойскими континентальными отложениями; 8 - глыбовые интрузии раннекайнозойских (?) гранитоморфов; 9 - покровы четвертичных базальтов трещинного типа. Ряды и низины на русле - 10 - глубинные долоподъемные разломы; II - разломы ниже-протерозойского залегания; 12 - предподнятие разломы, залегающие в нижнем проявлении, вследствие залегания; 13 - провинции разломы; 14 - надвиги посткайнозойские. П р о ч и е обозначения: 15 - оси антиклиналей и направление их погружения; 16 - оси синклиналей и направление их воззижания.

Важнейшие структуры (обозначены на схеме буквами в кругах): а - Альтининская антиклиналь; б - Альянтарская

синклиналь; в - Токсю-Ахоминская синклиналь; г - Яланканская антиклиналь; д - Чапская антиклиналь; е - Сынканский синклинальный прогиб; ж - Улагурская антиклиналь; й - Савинский разлом;

п - Аяченчурский разлом; ю - Чапский разлом; гу - Токинский разлом.

уроченности к определенным складчатым структурам. Наподобие дрезине архейские платиграниты приурочены к юго-западному крылу Алтойской синклинали.

В юные археи происходит консолидация Алтейского шита и превращение его в жесткий массив.

Нижнепротерозойские строуки туры Станивойской обlastи состоят из пород и степень дислокированности низкогородовских кристаллических образований указывает, что формирование их происходило в геосинклинальных условиях глыбинного типа, сопровождавшихся при складкообразовании региональным ультрагратаморфизмом и синорогенным глубинным metamorfismom.

Низкогородовские складчатые сооружения первого порядка представлены Токско-Алтойской синклиналью и сопряженными с ней на юге кулисобразно расположенным Чапской и Яланханской антиклиналями.

Токско-Алтойская синклиналь представляет собой крупную субширотно ориентированную складку с размахом крыльев около 30 км и протяженностью более 60 км. Ось синклиналии, слабо изогбаясь, протягивается через весь район от оз. Инаргида к верховым р.Алтой. Приходится на Токско-Алтойское междууречье Ядро складки сложено кристаллическими сланцами верхней подсвиты кудулукской свиты, крылья — нижней подсвиты кудулукской свиты, частично, чильчинской свитой. Наблюдаемое к западу от р.Тока расширение и сужение полосы выходов верхней подсвиты кудулукской свиты вдоль Токско-Алтойской синклиналии свидетельствует об узульции ее маррира на данном участке. Конформация контакта подсвит кудулукской свиты в верховьях рек Горучи и Чарга-та напечает резкое возникновение маррира по направлению к востоку и центрально-восточное замыкание складки восточнее оз. Инаргида. Строение Токско-Алтойской синклиналии, особенно ее осевой части, в значительной степени маскируется приуроченными к ней интрузиями низкогородовских лиоритов и гранодиоритов.

Из фиксируемых пликативных дислокаций второго порядка наиболее крупной является Ульчианская антиклиналь, осложненная восточной частью южного крыла Токско-Алтойской синклиналии на междууречье Тока и Чаргата и представляющая собой линейную сцепку с размахом пологого нахионеных крыльев около 10-15 км. Ось антиклиналии имеет северо-западное простирание и пересекает долину р.Тока у устья р.Нянгиган. Внутреннее строение этой антиклиналии довольно сложно вследствие наличия складок более высокого порядка (с размахом крыльев в сотни метров — первые километры) и многочисленных дизъюнктивных нарушений. На междууречье Чактая и Алтой северное крыло Токско-Алтойской синклиналии, спрессованное с севера Становым глубинным разломом, осложнено серией сопряженных линейных складок северо-западного простирания с размахом крыльев около 4-5 км и наклоном в 30-40°. Восточнее, в бассейне р.Горучи, северное крыло Токско-Алтойской синклиналии имеет простое строение с моноклинальным наложением слоев косоой части под углом 20-60°. Из дизъюнктивных нарушений, осложняющих строение Токско-Алтойской синклиналии, крупнейшим является Чапский разлом, пересекающий синклиналь в северо-западном направлении от пос. Чапы к верховым р.Алтой. Перемещение по этому разлому выразилось в поднятии северо-восточного блока на 2-3 км, что вызвало появление в осевой части синклиналии, сложенной верхней подсвитой кудулукской свиты, полосы выходов пород нижней подсвиты той же свиты.

Яланханская антиклиналь заходит на территорию рассматриваемого листа своим западным периклинальным окончанием и неизвестной частью ядра, строение которого скрыто приуроченной к нему интрузией раннегеологовых (?) гранодиоритов. Ось антиклиналии протягивается от восточной границы района, через верховья р.Джи-кстана, до долины Яланхана в широтном направлении и затем изгибается к северо-западу, пересекая долину р.Тока выше устья р.Чапы. Западное периклинальное замыкание антиклинали четко выражается простиранием стоящих его пород чильчинской свиты и нижней подсвиты кудулукской свиты, моноклинально падающих от ядра под углами в 20-60°. Конфигурация выходов нижней подсвиты кудулукской свиты на междууречье Сивакана и Тока в осевой части складки свидетельствует об узульции маррира антиклинали, который приводит к образованию на данном участке осложненных складок второго и третьего порядка. Из них наиболее крупной является кудулукской антиклиналь, сложенная породами нижней подсвиты кудулукской свиты, с размахом крыльев около 10 км и падением пород на крыльях под углами в 30-40°. На междууречье Намугти и Сивакана часть северного крыла Яланханской антиклиналии осложнена крупным пологим антиклинальным перегибом северо-западного простирания, являющимся продолжением вышеописанной Ульчианской антиклиналии. В пределах южного крыла Яланханской синклиналии моноклинальное падение пород в южных азимутах осложняется линейными складками (с размахом крыльев до 0,1-1 км и крутым их наклоном), согласными с общим восток-юго-восточным простиранием крыла.

Строение Чапской антиклинали почти полностью скрыто интузией раннепротерозойских (?) гранодиоритов и раннепротерозойских гранитов. Ось антиклинали наклоняется через верховья р.Курум-Кунгку и Нуума в северо-западном направлении. Резкое погружение шарнира антиклинали на междууречье Кунгкуя и Чапы приводит к образование линейной пологой синклинали второго порядка с размахом крыльев около 7-10 м, ориентированной вкrest простирации Чапской антиклинали.

Вследствие кулисообразного расположения осей Ялаваканской и Чапской антиклиналей, на междууречье Тока и Сивакана приходится разделение их узкой Сиваканской синклиналью протиб, сложенный породами верхней подсвиты кулдуканской свиты. Простирание оси прогиба северо-западное, фиксируемый размах крыльев (по выходам пород нижней подсвиты кулдуканской свиты) от 8 до 15 км, падение круговое ($40\text{--}80^\circ$) к осевой части. В бассейне нижнего течения р.Сивакана основная часть Сиваканского прогиба скрыта нижележащей интрузией.

Для всех перечисленных нижнепротерозойских складчатых структур характерно наличие дополнительной, часто линейной складчатости высшего порядка с размахом крыльев в единице, десятки и сотни метров. Итога наблюдается опрокидывание складок, как правило, в сторону осевых частей антиклинальных структур первого и второго порядка. В тонкополосатых разностях гнейсов чильчинской и кудулуканской свит фиксируется плоскость (басейны рек Сивакана, Тока). На отдельных участках долины р.Ток и устья р.Чапы дополнительная мелкая складчатость носит изокинимальный характер, зачастую с перекликами, опрокидыванием, обратным складок зоением с отдельными ядрами.

Древнестоные синдробленные гранитоиды, имеющие широкое развитие в Становой зоне, в районе развиты преимущественно на юго-западном крыле Чапской антиклинали. Конкордантные интрузии синдробленных раннепротерозойских диоритов, приточены к дополнительным складкам северо-западного простирания в ядре Токско-Алтоминской синклинали.

Важнейшим динамическим нарушением нижнепротерозойского времени является Становая глубинный разлом, пересекающий терригорою листа с востока на запад от верховьев р.Айенкур к истокам р.Алтомы. На местности Становой разлом четко фиксируется южной (Г-5 км) зоной линкоритов, частично катаклизированных и милонитизированных. По современной своей морфологии он представляет собой серию сближенных субпараллельных взбросов с крутым падением плоскостей сместителя к югу. Становой разлом является

границей Становой области и Алданского щита. Образование его относится к началу протерозоя и связано с заложением нижнепротерозойской геосинклинали, которую он ограничил с севера от южного массива Алданского щита. Подобная роль Станового разлома в нижнепротерозойской орогении обусловлена его огромное значение в распределении и характере раннепротерозойского материнства в пределах района. К югу от разлома раннепротерозойские интрузии характеризуются чертами, присущими синорогенным интрузиям, и имеют широкое развитие. К северу от Станового разлома раннепротерозойские интрузии распространены очень незначительно, приурочены к разрывам, определяющим Становой разлом, и часто имеют трещинный характер.

Вообще динамические лислокации играют важную роль в нижнепротерозойском орогенезе Становой области. Среди них наиболее значительными являются крупные протяженные разломы северо-западного простирания: Чапский и Токинский. Первоначальная морфология их либо в значительной степени изменена последующими (мелозойскими) подвижками, либо не устанавливается вследствие того, что зоны этих разломов оказались замечеными. Чапский разлом фиксируется на междууречье р.Чапы и Алтомы. Юго-восточное продление этого разлома намечается в бассейне р.Налды-Зимовьи по смещению оси антиклинального поднятия (сопряженного с юга с Токско-Алтоминской синклиналью), выражавшемуся в кулисообразном расположении составляющих это поднятие Ялаваканской и Чапской антиклиналей. На аэромагнитной карте разлом выражен резкой сменой интенсивности поля.

Токинский разлом протягивается от долины руч. Золотого через оз.Джуудир и по долине р.Ток к верховьям р.Намути. Современная морфология этого разлома юго-восточнее устья р.Улагир, скорее всего, обозначена подвижкам в мезозойское время. К северо-западу от устья Улагира на местности Токинский разлом не выражен и замещается прямолинейной ориентированной конкавта нижнепротерозойских гранодиоритов со сланцами кудулуканской свиты. Интрузионный характер контакта свидетельствует о проицании подвижек по разлому до окончания формирования интрузии, вследствие чего разлом оказался залеченным нижнепротерозойскими диоритами.

Некоторая ориентированность большинства массивов нижнепротерозойских диоритов в северо-западном направлении позволяет предполагать связь интрузий с системой подобных динамитиков. Интересно совпадение осей плакативных лислокаций второго порядка, в частности Улагирской антиклинали и линейных складок на междууречье Алтомы и Чаката, с простиранием крутых северо-

западных разломов. Это наводит на мысль о более раннем заложении этих лизинктилов в начальный этап нижнепротерозойской складчатости и подчиненности им пликтовых структур второго порядка.

Н и ж ел р о т е р о з о и с к и е с т р у к т у р и
А л д а н с к о г о щ и т а представлены разрывами нарушениями и приразломными интрузиями раннепротерозойских габброидов и дискордантными интрузиями раннепротерозойских гранитов. По северо-западным разрывам, опиравших Столовой разлом, происходит интенсивное рассланцевание архейских гнейсов и образование диафторитов зеленошланцевой фации, связанных с гидротермальной фазой древнестального магматизма. Зоны диафтореза приурочены также к Авгеникурскому разлому. Среди многочисленных разрывов в архейском основании протерозойские лизинктилы фиксируются по приуроченности к ним или мусковитовых пегматитов и мусковитизированных пород. Как правило, мусковитизация приурочена к суб-протоним и северо-западным крутонахищим разломам, среди которых наиболее протяженным является разлом, протянувшийся через береговья Чаката и истокам р. Авгеникур.

Для раннепротерозойских интрузий в пределах ших харктерны резкие секущие контакты с вымелившими архейскими толщами, диско-кордантные формы массивов и ориентировка мелких тел и жил в приконтактовых частях согласно рассланцеванию по нижнепротерозойским разломам.

В конце нижнего протерозоя происходит замыкание нижнепротерозойской геосинклиниали и присоединение к Алданскому щиту Столовой области, с этого времени составляющих единный кристаллический массив. Геологическая история района в синии-палеозое не документируется вследствие отсутствия в его пределах образований этого времени. Вероятнее всего, уже после консолидации раннепротерозойского кристаллического основания рассматриваемая территория превращается в жесткий платформенный массив. Отсутствие осложнений синии и нижнего кембрия, имеющих платформенный характер на территории сопредельного с севера листа, позволяет предполагать, что район представлял собой область размыва и воздвижения, начиная уже с синии. Наличие редких мелких покровов перидотитов палеозойского (?) возраста свидетельствует о проявлении в палеозое слабых дислокаций лизинктильного характера.

Мезо-каноэзийский платформенный чехол и структура, связанные с глыбовыми деформациями кристаллического фундамента в мезо-каноэе

Платформенный характер развития территории в мезозое находит свое отражение в формировании нижнеюрских и нижнемеловых осадочных отложений, относившихся к платформенному осадочному чехлу. Последующие глыбовые деформации кристаллического фундамента в постнижнеловское время приводят к созданию современного облика выходов платформенных отложений в виде локальных грабенов: Авгеникурского и Чакатайского.

Авгеникурский грабен расположен в северо-восточной части района и вытянут вдоль Авгеникурского разлома в северо-западном направлении. Ширина грабена в долине р. Артык около 1-1,5 км. В долине р. Авгеникур — около 0,5-0,7 км. Он осложнен диагональными и поперечными разрывами, незначительно смещающими Авгеникурский разлом. По направлению к северо-западу грабен выклинивается. Южные континентальные отложения, выполняющие грабен,monicально падают к юго-западу под углом в 30-40°, что, скорее всего, связано с блоковыми подвижками кристаллического основания.

Чакатайский грабен расположен в долине р. Чаката и вытянут в широком направлении, примыкая с юга к Становому разлому. Он выполнен континентальными ундиатинской свиты нижнего мела, моноклинально падающими к северо-западу под углом в 20-30°. Наклон слоев обусловлен более молодыми перемещениями кристаллического основания по серии разрывов, оконтуривших и частично осложняющих Чакатайский грабен.

Особенностью развития рассматриваемой территории в мезоканоэе являются неоднократные глыбовые деформации кристаллического фундамента по разрывам. Раннемеловой этап глыбовых деформаций сопровождается внедрением гипабиссальных интрузий гранитоидов. Для этих гранитоидов устанавливается пологий контакт с вымелившими породами, наклон которого на разных участкахарьереет от 15 до 50°, и пластообразная трещинная их форма. Подобные факты подтверждают выводы Ю.К.Давыдовского (1959) о внедрении раннемеловых интрузий по пологоладицким разломам. По мнению упомянутого исследователя, источником данных интрузий являются маши орогенного Монголо-Охотского мезозойского пояса, проникающие в пределы жесткого кристаллического фундамента Средней области вдоль глубинных разломов.

Характерным является приуроченность раннемеловых (?) гра-

ИТОЛНИХ ИНСУЗИЯ К ЯДРАМ НИЖЕПРОТЕОЗИЧЕСКИХ АНТИГЕННЫХ

ГЕОМОРФОЛОГИЯ

структур первого порядка. Существенную роль в характере мезозой-
ских глыбовых деформаций кристаллического фундамента сыграл Став-
новый глубинный разлом. Он явился границей, ниже которой глы-
бовая активизация кристаллического фундамента сопровождалась
внедрением значительных масс раннителовых гранитов. К северу
от Ставнового разлома архейский фундамент обладал большей ста-

Интенсивные блоковые движения кристаллического фундамента в четвертое время были основным фактором, определившим возникновение и развитие морфоструктур современного рельфа, для которых сформировались под воздействием эндогенных факторов (рис.3).

Мезо-кайнозойские глыбовые лёгформации сопровождаются появлениями многочисленных разрывных нарушений. Довольно протяжённые разломы восток-северо-восточного простирания низкемелового возраста запечатлены лайками раннемеловых гранодиорит-порфиров. Судя по залеганию лаек, плоскости смещения большинства разрывов, как правило, падают к юг-юго-востоку под углами 50–80°, хотя встречаются и почти вертикальные.

Многочисленные разрывные нарушения, для которых документируются лишь постникелевой возраст, группируются в отдельно выраженные системы северо-западного, субширотного, северо-восточного и субмеридионального простираний. Относительно древними являются северо-западные разрывы, наиболее молодыми – северо-восточные и субмеридиональные. Большинство разрывов отно-

ится к сбросам с крутоящей либо вертикальной плоскостью сместителя, что подтверждается дешифрованием их на аэрофотоснимках в виде прямых линий. На местности они выражены зонами катаклизитов, множеством мощностей от 35 до 20 м и приуроченными к ним кварцевыми жилами и участками пиритизации. Наиболее мощные зоны катаклизма по ширине (до 5-10 км) отмечаются в юго-восточной части района, где они приурочены к периферийской части раннекемовой интрузии и изменяют свое протирание от северо-западного в верховых р. Ялакана до северо-восточного в долинах рек Нарути и Тока. В юго-западной части района, в бассейне р. Кунгук, наблюдается наименьшее восток-северо-восточного протирение.

ния с падением плоскости к югу под углом 30-40°.

В палеозойский этап вновь проявляются глибовые перемещения кристаллического фундамента по зонам разрывов, сопровождающиеся в четвертичное время в зоне Станового разлома трещинами излияниями базальтов. Новейшие глибовые дислокации приурочены к формированию современного тектонического плана рассматриваемой территории.

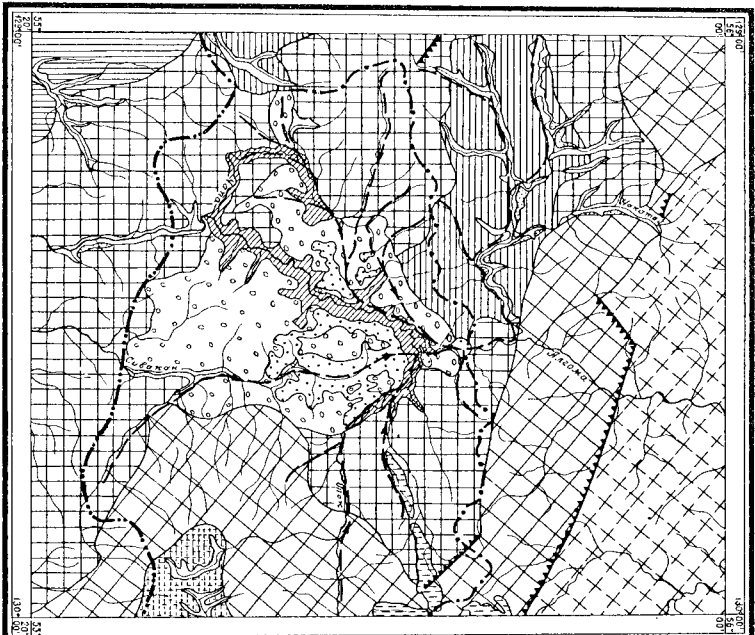


Рис.3. Геоморфологическая схема

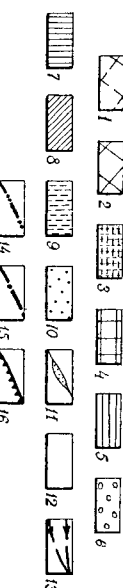
О б л а с т ь и н т е н с и в н ы х п о л и я т и й: 1 - высокогорный расщепленный ледниково-эрозионный аллювиальный рельеф; 2 - среднегорный денудационно-эрозионный круглосложный рельеф; 3 - среднегорное денудационное выраженное плато на абсолютных высотах 1500-1600 м. **О б л а с т ь з а м е л я н ы х п о л и я т и й:** 4 - среднегорный расщепленный денудационно-эрозионный рельеф. **О б л а с т ь т е к т о н и ческ ой ста б и л и з а ц и и:** 5 - среднегорное слабо эрозионное денудационное плато на абсолютных высотах 1000-1300 м; 6 - аккумулятивно-денудационное древнее равнинное плато - полого холмистое плоскогорье, расположеннное в центре района (вершина р. Сылакан), характеризуется энергией рельефа в 60 м и абсолютными высотами 1000-1100 м. Это очень плоские столообразные поверхности, покрытые обмытыми марами. Водораздельные галечники на этих поверхностях свидетельствуют о наличии древней гидросети, конфигурация которой не совпадала с современной, а в уро-
чище Дланыул сохранилась даже цепь озер, представляющих собой остатки русла крупной древней реки.

В бассейне рек Угана и Кунгкуя развит низкогорный умеренно и слабо расщепленный эрозионно-денудационный рельеф. Абсолютные высоты водоразделов около 700-1000 м. Энергия рельефа 150-300 м. Характерны широкие пологосклонные долины с выполовинчатыми водоразделами.

Своеобразный эрозионный кругосложный рельеф имеет долина р. Тока и нижняя часть долины р. Чалы. Они представляют собой глубокие (до 300 м) каньоны, врезанные в плоскую поверхность древней денудационной равнины. Появление этих каньонов-долин у Тока и Чалы связано с перекатом этих рек, относившихся в прошлом к нижне-редине-террасному времени; 15 - линия юго-западного части Ставового хребта; 16 - тектонические уступы макрорельефа

О б л а с т ь з а м е л я н ы х п о л и я т и й: расположена выше и юго-западнее области интенсивных полигонов. В формировании среднегорного умеренно расщепленного денудационно-эрозионного рельефа этой области в разной степени участовали эрозия рек и денудация склонов. Степень расщепленности рельефа средняя; она значительно меньше расщепленности северной части территории. Господствующие углы наклона склонов хребта 8-10°, реже 4-8°. Характерными формами являются долины с пологими склонами, реже V-образные и антиформные долины; повсеместно развит речной террасовый комплекс. В поле развития мезозойских интрузивных пород часто встречаются денудационные останцы. Водоразделы имеют мягкие очертания. Энергия рельефа равна 500-700 м.

О б л а с т ь т е к т о н и ческ ой ста б и л и з а ц и и: занимает центральную и юго-западную части территории. Входит в состав этой области слабо эрозионное эрозионно-денудационное среднегорное плато развито в бассейне рек Арикиты и Алтому, характеризуется мягкими спираниями водоразделов, широкими и заболоченными пологосклонными речными долинами. Абсолютные отметки водоразделов укладываются в 1200-1280 м, углы наклона склонов составляют 1-4°. Энергия рельефа около 250 м.



бассейну р.Алтамы, гидросетью Зейского бассейна. Этот переход привел к бурному проявлению глубинной эрозии и, как следствие, к образованию каньонов.

Вулканический рельеф развит на базальтовых покровах и морфологически представляет собой плоские заболоченные, постепенно снижающиеся в западном направлении, столообразные поверхности, круто обрывающиеся к долинам рек террасовидными уступами.

Находки на водоразделах древнего аллювия, изучение древних поверхностей выравнивания в совокупности со многими другими геологическими и геоморфологическими данными, позволяют воссоздать историю развития современного рельефа. В нижне-среднечетвертичное время описанная территория представляла собой пленчен с гидросетью, направление которой не совпадало с современной. Не походил на современный и Становой хребет, его водораздельная часть находилась на 25-30 м выше. Геоморфологический анализ позволяет предполагать существование древней речной долины (пра-Алтамы), проходившей с юга на север через верховья современной р.Сивакана, среднюю часть р.Ананана.Правыми притоками древней долины являлись реки Улятир (пра-Улятир) и Ток (на участке выше устья р.Улятира). Крупный левый приток существовал в бассейне современных рек Нуяма, Чапа и Качу. В конце средне-четвертичного времени начинается тектоническая дифференциация района. Появляются крутые расколы, в долину пра-Улятира ваются базальты, наступает похолодание и в наиболее поднятых участках на севере появляются ледники. Быстрое развитие регressive азии рек Амурского бассейна приводят к переката姆 притоков пра-Алтамы и части ее самой. Этот процесс сопровождается передвижением на север водораздельной линии Станового хребта.

Формирование гидросети в современном ее виде заканчивается в верхнечетвертичное время. К этому моменту едина в прошлом древняя денудационная поверхность дифференцируется на три разобщенных плато, морфологическое различие между которыми обусловлено проявлением более поздних рельефообразующих процессов. Поднятие отдельных блоков приводит к тому, что часть плодородных почв выходит за снеговую линию и наступает эпоха второго оледенения, которое носит каровый и горноледничный характер. К этому же времени относится образование в современных границах Авленкурского грабена, вскиновение мощных глубинных расколов и новое излияние базальтов. В современную эпоху, ознаменованную общим потеплением климата, закончилось оледенение. Для всего района по-прежнему характерна тенденция к поднятию. Вследствие блоковых движений образуются антecedентные участки долин многих рек.

ПОЛЕЗНЫЕ ИСКОПАЕМЫЕ

На территории листа № 52-ЛУ известны мелкие отработанные месторождения россыпного золота, непромышленные месторождения мусковита, а также коренные проявления каменного угля, золота, серебра, молибдена, редких земель, горного хрусталя, мусковита. В шликах встречаются минералы свинца, золото, шеелит, молибденит, монацит, ортит, циркон, базальмутит, кианит. Металлографическим опробованием установлен ряд спектрометрических ореолов с повышенным содержанием свинца и молибдена.

ГОРОЧИЕ ИСКОПАЕМЫЕ

Каменный уголь

Проявление каменного угля (№ 17) расположено в долине р.Авленкур. Оно приурочено к отложениям Южинской (?) свиты, залегающим в узком (до 0,3 км) тектоническом клине протяженностью до 1,5-2 км. Угли встречаются в одном обнажении в виде пластов мощностью 0,15 м. Качество углей не установлено. Указанное проявление практического интереса не представляет. Выду отсутствия промышленных концентраций углей в породах Южинской свиты в известных угленосных бассейнах Южной Якутии и вследствие не значительной площади выходов Южинской свиты, район не перспективен для обнаружения значительных месторождений каменного угля. Однако не исключена возможность нахождения небольших залежей углей, которые могут быть при необходимости использованы для местных нужд.

МЕТАЛЛИЧЕСКИЕ ИСКОПАЕМЫЕ

Цветные металлы

Свинец

Минералы свинца (зульфенит, галенит) встречаются в единичных шликах по рекам Нуяма, Курум-Кунтуу и образуют ореол № 40, охватывающий бассейн р.Ток (выше устья р.Улятир) и нижнюю часть долины р.Намуги. Ореол № 40 представлен шлихами с присутствующим в единичных знаках зульфенитом, ассоциирующим с ше-

блитом, молибденитом, хромитом, орбитом, цирконом, рутилом, же с галенитом, перуситом, золотом, базобисмутом. Свинцовые спектрометрические ореолы (содержание 0,004–0,06%) зафиксированы в верхнем течении рек Чакатай (№ 3), Утуугута (№ 12), Аририкты (№ 19, 21), Сюдогта (№ 20), Горунчи и Анычана (№ 14), Токи (№ 47), в бассейне рек Курум-Кунгкуя (№ 52), Мужун-Донди (№ 55), по р. Агрыс и нижней части долины р. Чапы (№ 38).

Крупный по площади ореол (№ 45) охватывает верховья левых притоков р. Синакана, часть долины р. Ялвакана и верховья р. Найды-Зимовьи. Шиховой ореол и почти все спектрометрические ореолы свинца приурочены к зонам разрывных нарушений, следы которых преобладают разрывы северо-восточного простирания, причем для большинства ореолов (№ 3, 14, 40, 38, 45, 47, 52, 55) намечается явная связь с контактами ранненемеловых (?) гранодиоритов. Коренные источниками могут быть жильные проявления свинца гидротермального типа в зонах разломов в связи с ранненемеловой (?) интрузией гранодиоритов, а в пределах ореола № 45 возможны снарновые проявления.

Благородные металлы

Золото

Область Станового хребта, в частности территории рассматриваемого района, издавна считалась перспективной на золото. Поиски золота в районе начались еще в конце прошлого столетия, причем на раннем этапе выяснения перспектив золотоносности основное внимание уделялось поискам рассеянных месторождений.

Первые коренные проявления золота (№ 1, 2, 5, 16, 29, 31) были обнаружены в 1946 г. А.И.Куксом, высившим вопрос о коренных источниках золота в бассейне р.Агтомы. Помимо работы на золото, проведенные Ю.А.Сиротиним (1947) в бассейне рек Топка и Чапы, в 1947 г. привели к обнаружению Чапского золоторудного проявления (№ 33). В результате поисково-съемочных работ масштаба 1:200 000, проведенных Сковородинской экспедицией БАГТа в 1961 г., (Ю.Б.Казими и др.), обнаружены в пределах южной половины листа проявления № 32, 41, 48, 50, 51, 53, 54. Всего в районе известно 14 проявлений золота. Все они установлены в результате пробного анализа штучных проб, отобранных из зон сульфидной минерализации и кварцевых жил. Детальные исследования до настоящего времени ни на одном из известных проявлений не проводились.

В 1961 г. Сковородинской экспедицией БАГТ (Ю.Б.Казими и др.) на севере района были опробованы штурными и бороздовым методом зоны сульфидной минерализации в пунктах, где А.И.Куксом отмечалось присутствие золота. Анализ повторных проб показал следы золота. Отрицательные результаты повторного опробования, по-видимому, связаны с неравномерным содержанием металла в зоне вторичных проявлений, требующих для ревизии специального комплекса опробовательских работ, а также с недостаточностью полученных нами данных. Поэтому описание проявлений № 1, 2, 5, 16, 29, 31 в настоящей записке дано по материалам А.И.Кукса (1950), к сожалению, не содержащим сведений о мощности рудных тел, их протяженности и т.д.

Все коренные проявления золота в районе подразделяются на три морфогенетических типа: кварцевые жилы с пиритом; участки пиритизации и сульфидного оруденения вмещающих пород в зонах разломов; пиритизированные диафториты.

Первый тип золотого оруденения в пиритизированных кварцевых жилах представлен коренными проявлениями № 31, 33, 48, 53 и проявлениями в зловии № 32, 50, 51, расположенным в центральной и южной частях района. Для подавляющего большинства проявления этого типа (№ 33, 48, 50, 51, 53) характерна приточенность к эзаконтактовой части интрузий ранненемеловых (?) гранодиоритов и локализация преимущественно в трещинах, определяющих разрывы восток-северо-восточного и северо-восточного простирания. Уюканское проявление № 32 расположено непосредственно в пределах интрузий ранненемеловых (?) гранодиоритов в зоне широтного разлома, а Намкунское проявление № 31 приурочено к Становому губинному разлому. Вмещающими породами в большинстве проявлений являются чаще всего катаклизированные гнейсы и сланцы нижнего протерозоя, в проявлении № 32 – ранненемеловые (?) катаклизированные гранодиориты.

Золото локализуется в кварцевых жилах, содержащих пирит, чаще всего в виде рассеянной мелкой (до 1–3 мм) вкрапленности (№ 31, 32, 51, 53). Реже (№ 33, 50), наряду с мелкой вкрапленностью, кварцевые жилы содержат крупные (до 1–3 см) вкраплениники, плагиообразные скопления (размером от 5 до 10 см в поперечнике) и тонкие (1–2 см) прожилки пирита. Пирит является основным рудным минералом. Итога (№ 32, 50, 51) ему сопутствует в незначительных количествах магнетит и ильменит, редко (№ 50, 53) молибденит. Золото во всех проявлениях связано с пиритом. Однако присутствие в шлиахах по рекам Току, Чапе, Кунгкуя крупинок золота в сростках с кварцемает основание предполагать возмож-

ноть нахождения в данном типе и проявлений самородного золота.

Это подтверждается также присутствием самородного золота в приносных кварцевых жилах в сопредельных районах (Фролова, 1953). Кильные минералы представлены кварцем, редко с примесью полевого шпата (№ 31). Кварц сливной, белый, серовато-белый, иногда бесцветный, стекловатый, часто трещиноватый. Преобладает мощность кварцевых жил 0,1-0,2 м (№ 32, 48, 51, 53) в отдельных проявлениях (№ 50) - 0,5-0,6 м протяженность жил неяснена. Установленные содержания золота по пробам, взятым с поверхности жил, характеризуются следующими цифрами (в г/т): № 31 - 1,1; № 32 - 0,3; № 33 - 6,2; № 48 - 12,0; № 50 - 0,3; № 51 - 0,4; № 53 - 0,08. Окологильные изменения вмещающих пород, как правило, выражены в их слабом окварцевании и пиритизации. Обычная мощность зоны окзоложительного изменения 5-10 см, реже (№ 48) - 0,3-0,4 м. В эзаконтактовой зоне золото содержится чаще всего в виде следов, лишь в проявлении № 53 содержание золота достигает 0,08 г/т.

Тенезис проявления первого типа гидротермальный. Установливается связь оруденения с гидротермальной фазой раннемелового (?) интрузивного комплекса. Для данного типа приводится лишь описание наиболее интересных и типичных проявлений. Имеющийся фактический материал по остальным проявлениям приведен в списке проявлений полезных ископаемых.

Садараское проявление № 48 расположено в левом борту долины р. Ток, в районе урочища Садарак, и приурочено к зоне разлома северо-восточного простирания. В коренном выходе сильно катаклизированые и пиритизированные амфибол-биотитовые гнейсы и сланцы кудаликанской свиты секутся кварцевой жилой. Мощность жилы 0,5 м, видимая протяженность около 3,5 м, далее она закрыта делювием и рустовыми отложениями. Жила падает к северо-западу (аз.зап. 320°) под углом 70°. Кварцевая жила содержит рассеянную вкрапленность кристаллов пирита размером от 0,1 до 1,0 см и гнезда притя сечением до 10-20 см. Гнезда расположены по жиле спорадически, примерно через 10-20 см, выполнены обычно крупнокристаллическим, реже землистым пиритом и рудами. В зоне эзаконтакта мощность 0,5 м гнейсов окварцированы и пиритизированы. Пробирный анализ бороздовой пробы, захватившей гнеездобразное скопление пирита, показал содержание золота в 12,0 г/т. Рудные минералы представлены в основном пиритом с редкой примесью молибденита и ильменита.

Второй тип оруденения золота в участках пиритизации выдающихся пород в зонах разломов представлен рудопроявлениями № 1,

5, 16, 29, 41, 54, для которых также намечается четкая структурная связь с трещинами, определямыми разрывы северо-восточного и восток-северо-восточного простирания. В проявлениях № 1, 5, 54 орудение приурочено к контактам лавок раннемеловых (?) жильных пород, при этом в проявлениях № 5, 54 оно локализуется в зоне эзаконтакта, а в проявлении № 1 - захватывает и тело дайки. Вмещающими породами в проявлениях № 29, 41 являются раннепротерозойские кварцевые диориты, в проявлении № 16 - нижнедревние песчаники.

Рудные тела представляют собой зоны пиритизации в интенсивно катаклизированных и милонитизированных вмещающих породах. Границы и контакты рудных тел нечеткие. Истинная мощность и протяженность рудных тел большинства проявлений вследствие плохой обнаженности пока не установлена. Видимая мощность их превышает первые метра. Преобладает вкрапленный тип минерализации сульфидов (в основном пирита), образующих кристаллы 0,1-0,5 мм, реже до 1,0-1,5 см в поперечнике. В проявлении № 5, кроме того, встречаются спорадически гнезда неправильной формы размером до 5-10 см, выполненные сульфидами, а в проявлении № 54 - тонкие (1-2 см) прожилки и линзы пирита. Основным рудным минералом в проявлениях № 1, 16, 29, 54 является пирит, а в проявлении № 5 рудные минералы представлены пиритом, халькопиритом, пирротином, магнетитом и сфalerитом. Золото связано с пиритом и в самородном виде отсутствует. Содержания золота в поверхностной части рудных тел незначительные (в г/т): № 1 - 0,8; № 5 - до 3,2; № 16 - 3,2; № 29 - 1,4; № 41 - 0,5; № 54 - 0,9. Характерным для рассматриваемого типа оруденения является присутствие серебра, также, вероятно, связанныго с пиритом и халькопиритом. Содержание серебра (№ 1 - 7,6 г/т; № 5 - 6,8 г/т; 8,0 г/т; 47,4 г/т; № 29 - 5,0 г/т; в остальных проявлениях не определялось) превышает содержание золота в несколько раз.

Тенезис оруденения рассматриваемого типа гидротермальный. Намечается четкая связь его с гидротермальной фазой интрузии раннемеловых (?) гранитоморфов, следующей после внедрения дайкового комплекса.

Верхне-Чакатайское проявление № 5 расположено в верховых р. Чакатай, где оно приурочено к зоне разлома северо-восточного направления. Рудное тело представляет собой зону интенсивно пиритизированных, катаклизированных амфиболовых и гранат-биотитовых гнейсов нижнесунганинской свиты архая на контакте с дайкой спессартитов раннемелового (?) возраста. Зона прослежена на протяжении 12 м по простиранию дайки и на 3 м по падению, мощность

е колеблется в пределах 2-3 м. Пирит импрегнирует породы в виде рассеянных вкраплеников (размер кристаллов от 1-2 мм до 5 мм). Спорадически по зоне встречаются гнездообразные скопления (до 5-7 см в плоскости), а также прожилки (до 1 см) сульфидов, представленных пиритом, халькопиритом, сфalerитом и пиротином, а также магнетитом и гематитом, участки обильной вкрапленности этих минералов. Содержание золота и серебра в сланцах с рассеянной вкрапленностью пирита составляет соответственно 0,6 г/т и 47,4 г/т, в пиритизированном гранатовом гнейсе с рассеянной вкрапленностью - 0,6 г/т и 7,8 г/т, в гнездообразном скоплении рудных минералов - 1,0 и 8,0 г/т, в амфиболовых гнейсах, интенсивно импрегнированных пиритом, халькопиритом и пиротином - 3,2 г/т и 6,8 г/т.

Третий тип оруденения золота - в диафторитах - зафиксирован в долине р.Бадис-Макит (№ 2). Опробование А.И.Куксом пиритизированные актинолит-хлоритовые сланцы с вкрапленностью пирита содержат: золота - 2,8 г/т, серебра - 13,2 г/т. Указанные элементы связаны с пиритом, однако в сопредельных районах для диафторитового типа установлено присутствие и самородного золота в линзовидных обособлениях кварца в диафторите. Диафторитовый тип оруденения является распространенным в Становой провинции и детально изучен в центральной части Станового хребта районом исследователей. Большинство исследователей (Зверев, 1932; Коржинский, 1930) считает диафторитовый тип оруденения гидротермальным и связывает его с гидротермальной деятельностью раннепротерозойских (древнестановых) гранитов.

Имеющиеся в настоящее время материалы по рудопроявлениям золота перечисленных типов в районе недостаточны для оценки их практического значения. Для подобной оценки необходимо проведение специальных геологоразведочных работ. Наиболее перспективным как объект для добычи коренного золота является первый, жильный, тип оруденения. Большинство известных в настоящее время в Становой и Монголо-Охотской провинциях месторождений золота относится к жильному типу. В связи с этим обращает на себя внимание значительное содержание золота в Садараском рудопроявлении (№ 48). Второй тип оруденения в зонах пиритизации может перспективен на коренное золото. Разведенные проявления этого типа за пределами района (месторождение Колчеланский Утес и др.) характеризуются крайне незадержанным оруденением (Фролова, 1953). Перспективы проявления диафторитового типа оруденения в качестве объекта для добычи коренного золота в пределах всей Становой зоны определяются большинством исследователей отрицательно вследствие никакого содержания золота и неравномерного, рассеянного характера оруденения.

Перечисленные выше типы оруденения являются основными локальным источником промежуточного типа могут служить нижележащие конгломераты в бассейне р.Чаката, содержащие обломки диафторитов.

Россыпные месторождения золота № 23-28, 34, 35 расположены в бассейне р.М.Чапы. Здесь в 1930-1946 гг. Зейским комбинатом треста Амурзотого велись систематические эксплуатационные работы. Объектом разработки являлись золотоносные россыпи пойменных террас. По данным Ю.А.Сиротина (1947), добыча шла в восьми пунктах. Размеры россыпей составляли: № 23 - 200 м x 5 м; № 24 - 50 м x 10 м; № 25 - 150 м x 20 м; № 26 - 300 м x 150 м; № 27 - 60 м x 50 м; № 28 - 2500 м x 100 м; № 34 - 1000 м x 250 м; № 35 - 1000 м x 50 м. Мощность песков на всех участках зарыбляла в пределах 1-2 м. Данные о содержании металлов отсутствуют. Всего в пределах перечисленных россыпей было добыто 156 кг учтенного золота. Подсчитанные остатки россыпного золота в неограбленных целиках составляют 8 кг. На остаточной части территории бассейна р.М.Чапы и по р.Качу велилась несистематическая добыча старательскими шурфами.

Повторное шлиховое опробование, проведенное Ю.А.Сиротиным (1947) в пределах этих россыпей, показало следующее содержание металла (в г/м³ промытой породы): по р.Маг.Чапе в русле - 3,05; 26,32; в косе - 2,75; в отвале шурфа - 0,47; в борту разреза - 0,4; по р.Качу в борту выработки - 2,25; 2,82; в отвале шурфа - 0,2; по р.Помпяти в отвале шурфа - 0,5. На основании поисковых работ в бассейнах рек Мал.Чапы и Качу Ю.А.Сиротин (1947) пришел к выводу о бесперспективности этих участков на россыпное золото, поскольку запасы его были почти полностью исчерпаны эксплуатационными работами предыдущих лет.

На основании шлихового опробования, проведенного в районе в разные годы, выделяется ряд шлиховых ореолов золота (№ 13, 22, 30, 49). Единичные шлихи с редкими знаками золота в русловых и косовых отложениях отмечаются в верховых рек Сылакана, Ушканы, Чаката, Наминана, по речкам Алтому, Бадис-Макиту, Току, Улану, Кункулу, Амантигу, Мукун-Донде, Джиктанде, Сынажану и его притокам. В шлихах золото ассоциирует с шеелитом, цирконом, монацитом, реже молибденитом, вульфенитом, базабисцитом и оранжитом. В пределах ореола № 13 золото содержится в редких знаках в русловых отложениях рек Чаката и Нирга-Макита в виде комков-

тых, иногда пластинчатых, весьма слабо обработанных зерен размером до 1,5 мм. Основным источником золота скорее всего являются дайфториты. Промежуточным коллектором могут служить нижнеловые континенты. Для долины р.Чакатая в пределах ореола характерна разработанная долина, широкое русло с большими косами (до 500×300 м), значительная (до 500–600 м) ширина при протяженности в 1–2 км первой надпойменной террасы. Благоприятные геоморфологические и геологические предпосылки позволяют рекомендовать этот участок долины для поисков косовых и пойменных россыпей. Долина р.Нирга-Макит менее благоприятна для образования крупных россыпей вследствие незначительной (ширина – десятки метров, протяженность – первые сотни метров) площади пойменных отложений.

Ореол № 22 расположен в верховьях р.Бол.Чапы. Золото содержиться в редких знаках в русловых отложениях. Долина реки зерлан, широкая (2–3 км), со значительной площадью рыхких отложений, слагающих высокую пойму и первую надпойменную террасу. Участок благоприятен для формирования значительных долинных россыпей пойменного типа, в краевых частях долины, возможно, потребленных под чехлом ледниковых отложений.

Ореол № 30 охватывает долину р.Улятира и участок долины р.Тока между устьями рек Намуги и Чардата. Определение косовых отложений показало повсеместное присутствие малых знаков золота на всем протяжении р.Улятира и по р.Току в пределах ореола.

По данным Ю.А.Сиротина (1947), содержание золота в косах р.Ток колеблется от редких знаков до 1,8 г/м³, а по р.Улятиру составляет редкие знаки. Золото плохо окатано, пластинчатой лентритовой формы, иногда в сростках с кварцем. Отборованием бортов выской поймы и первой надпойменной террасы установлено содержание золота по р.Току от редких знаков до 0,3 г/м³, по р.Улятиру – в редких знаках.

По р.Току наиболее благоприятным для формирования косовых и пойменных (долинных) россыпей является участок между реками Намугой и Коралем с косами до 0,5–0,6 км длиной при изменчивой ширине от 10 до 60 м и низкими аллювиальными террасами шириной до 60–200 м при длине в 0,3–1,0 км. Возможны локальные террасовые россыпи, связанные со второй, третьей и четвертой надпойменными поклонными террасами. В 3 км ниже устья Корале долина р.Ток узкая, каньонобразная, по геоморфологическим данным неблагоприятна для формирования и сохранности россыпей. Долина р.Улятира, исключая ее двужильетровую пристенную часть, благоприятна для нахождения россыпей, связанных с комплексом высокой

поймы и первой террасы, обладающих при небольшой ширине (десять метров – 100 м) значительной протяженностью (до 1–2 км). Размеры кос по долине р.Улятира незначительны (протяженность – первые десятки метров, ширина – до 10 м). Здесь локальные косовые россыпи возможны лишь при богатом содержании металла.

В верховьях р.Куткую (№ 49) золото встречено в косовых и русловых отложениях в редких знаках в виде полукатанных пластинок и окатанных комковатых зерен размером 0,2–1,0 мм. Верховья р.Куткуя, находящиеся в стадии эрозионного переуглубления долины, с геоморфологических позиций мало благоприятны для формирования и сохранности россыпей.

Серебро

Серебро сопутствует золоту в проявлениях № 1, 2, 5, 29, связанных с зонами пиритизации и сульфидной минерализации (см. раздел "Золото"), где содержание его составляет (в г/т): № 1 – 7,6; № 2 – 13,2; № 5 – 6,8; 8,0; 47,4; № 29 – 5,0. Проявление серебра № 37 приурочено к разрыву северо-восточного простирания, в зоне которого гранат-эмфиболовые сланцы катаклизированы и импрегнированы пиритом и халькопиритом в виде мелкой вкрашенности. Пробирным анализом установлено присутствие серебра 9,6 г/т, по данным спектрального анализа выявлено содержание меди 0,02%.

Ввиду малых содержаний металла все известные проявления практической ценности не представляют. Перспективы района на серебро можно оценивать как положительные лишь в случае обнаружения промышленных проявлений золота в зонах пиритизации, в которых серебро является полутным компонентом.

Р е д к и е м е т а л л и

Вольфрам

Шеелит является акессорным минералом в раннемеловых (?) гранодиоритах и гранодиорит-порфирах. Этим объясняется присутствие шеелита почти во всех шлихах в южной части района, где он не приставляет поискового интереса. Присутствие в шлихах редких знаков шеелита, ассоциирующего с рутилом, ильменитом, монацитом в бассейне рек Нирга-Макит, Аянкур, Алтома, в северной части района также скорее всего связано с дайками раннемеловых (?) жильных пород. Имеющиеся данные не позволяют в настоящее

время положительно оценивать перспективы района в отношении молибдена.

Молибден

Чакатайское проявление молибдена (№ 4), представляет собой зону сульфидного оруденения, прослеженную в ряде обнажений на протяжении около двух километров вдоль разрывного нарушения северо-восточного простирания. Из-за плоской обнаженности медьность зоны не установлена, но, очевидно, она превышает первые метры. Здесь биотит-гранатовые плагиогнейсы и лавтиросеновые сланцы улунчинской свиты и аляскитовые граниты интенсивно обожжены, разбиты многочисленными трещинами и развалены. Тонкие гнейсы и сланцы несут равномерную мелкую выщелаченность, тонкие прожилки (0,2–0,5 см) и призматики пирита и халькопирита.

Спектральными анализами установлено присутствие в зоне оруденения в 4 пунктах следующих металлов: молибдена – до 0,1%, меди – до 0,01%, сурьмы – до 0,06%, кобальта – до 0,03%; металлогеометрическим опробованием на участке установлено повышенное содержание молибдена и сурьмы: до 0,06%. Значительная повышенность зоны и повышенные содержания молибдена позволяют рекомендовать Чакатайское проявление для поисково-разведочных работ.

Шлиховой ореол молибдена выделяется в междууречье Ильвы-Кана и Налды-Зимовьи (№ 60). Молибденит в шликах ассоциирует с шеелитом, цирконом, монацитом, ортитом.

В спектрометрических ореолах № 3, 19, 39, 36, 43, 42, 59 содержание молибдена колеблется от 0,003 до 0,06%.

Шлиховой ореол и большинство спектрометрических ореолов молибдена приурочены к участкам, где развиты разломы северо-восточного и широтного простирания в эзоконтактах интрузии раннекемовых гранодиоритов. К подобным участкам в сопредельных районах (Казмин и др., 1961Ф) приурочены коренные проявления молибдена, что позволяет считать зоны ореолов в пределах района также благоприятными для гидротермального оруденения молибдена.

Редкие земли

Коренные проявления редких земель расположены в бассейне р.Азгекенкур. Проявление № 15 связано с биотитовыми ильинитами южурканской свиты, содержащими многочисленные послойные и лин-

зийные инъекции аляскитовых гранитов. Редкие земли связаны с монацитом. Содержание их, по данным спектрального анализа штуфной пробы, следующее: церий – 0,6%, лантан – 0,3%, иттрий – 0,08%, иттерий – 0,01%.

Проявление № 18 приурочено к жиле архейских ортотектитов с монацитом, прорывающих гнейсы и сланцы худурканской свиты. Мощность жилы 1,0–1,2 м. Содержание редких земель (по данным спектрального анализа): первый – 0,3–0,6%, лантан – 0,1–0,6%, иттрий – 0,003–0,006%, иттерий – 0,01–0,03%, торий – до 2,0%. Из этих двух проявлений практический интерес представляет лишь редкоземельная минерализация в шигматитах, в том случае, если минерализация распространится на значительную площадь. В связи с этим для оценки проявления № 15 рекомендуется проведение поисково-рекогносцировочных работ.

В шликах редкие земли ортита, монацита, циркона имеютплощадное развитие, что связано с присутствием этих минералов в качестве аксессориев в архейских, нижнепротерозойских и раннемеловых гранитоидах. По данным шлихового и металлогеометрического опробования участки, перспективные на редкоземельное оруденение, выделить не удается.

Ртуть

Редкие земли киновари встречаются в шликах в трех пунктах: в верховьях р.Умкана, в среднем течении р.Тока и по ее безымянному боковому притоку. Киноварь в шликах присутствует в виде неокраинных обломков размером до 0,3 мм, ассоциирует с базалинитом, молибденитом, шеелитом. Большой интерес представляет приуроченность шлихов с киноварью в ущелье р.Тока и его бокового притока к участку пересечения разломов восточно-северо-восточного, северо-западного и субмеридионального направления, благоприятному для оруденения киновари. С подобным геотоническим условиями на территории листа № 52-Ш (Гиммельфарб и др., 1962Ф) связано коренное рудопроявление киновари. В связи с вышеизложенным данный участок является перспективным для ртутного оруденения.

Висмут

Базобисмутит в редких землях встречается в шликах по рекам Сивакану, Мугун-Донде, Нуым, Аграсу, в верховьях р.Кутум-Кункуя и в бассейне р.Умкана. Базобисмутит в шликах содержит-ся в виде полукатанных утолщенных обломков размером от 0,2 до

0,7 м., ассоциирует иногда с молибденитом, золотом, вульфени-
том. Приуроченность шлихов с базобисмутитом к участкам, блато-
притным для гидротермального оруденения в связи с раннемеловым
(?) магматизмом и охватывающим зоны разломов северо-восточного
и субширотного простирания в пределах интрузий раннемеловых
гранитоидов и вблизи них, позволяет считать южную половину района
благоприятной для минерализации висмута. Наиболее благоприят-
ными для поисков коренных проявлений являются верховья рек Нуя-
ма и Умкана и нижняя часть бассейна р. Мугун-Донди, где базо-
бисмутит установлен во многих шлихах.

Пектиниты для крупных проявлений и месторождений горного хру-
стала подобного типа. Вопрос о практическом значении обнаружен-
ных жильных проявлений, также как и перспективах района на гор-
ный хрусталь в связи с проявлениями подобного типа, в настоящее
время не ясен и может быть решен после проведения специальных
поисково-разведочных работ в указанных участках.

Силикатные ископаемые

Следа-мусковит

В юго-восточной части района известны два проявления гор-
ного хрустала (№ 61, 62), приуроченные к зоне дробления и катас-
таза в прионтактовой части интрузии раннемеловых трансформи-
ров. В проявлении № 61 по р. Янавану среди сильно окварцованных
милонитизированных раннемеловых (?) гранитоидов расположены
многочисленные кварцевые жилы мощностью от 5 до 50 см, падающие
к востоку под углом в 30°. Зальбанды жил сложены белыми массив-
ными кварцем, а центральные части представляют собой щетки и
группы кристаллов прозрачного и полупрозрачного горного хруста-
ла, покрыты тонкой пленкой окислов железа. Часто встречаются
почти прозрачные кристаллы длиной 2-3 см при поперечном сечении
менее 1,0 см. Полупрозрачные мутные кристаллы обычно имеют дли-
ну 2-6 см при поперечном сечении около 1 см, иногда достигают
длины до 10-12 см с поперечным сечением 1,5-2,5 см. Большинство
кристаллов трещиноватые, со связями.

В проявлении № 62 по р. Джикинде вблизи раннемеловой (?)
интрузии на контакте биотитовых гнейсов и кальцифиров расположе-
на кварцевая жила мощностью 0,5 м. Зальбанды жилы сложены бе-
лым массивным кварцем, а основная ее часть представлена агрега-
том кристаллов белого кварца длиной до 2-3 см. Редко
встречаются щетки почти прозрачного хрустала. Кристаллы с тре-
щинами и связями.

Виду отсутствия среди метаморфических пород архея и нек-
гетического проявления кварцитов, с которыми связаны месторождения
горного хрустала на юге Алданского лита, район является непер-

Неметаллические ископаемые

Оптическое сырье

Горный хрусталь

Проявления мусковита группируются в бассейне верхнего те-
чения р. Чаката (№ 6, 10) и в бассейне левых притоков р. Сивака-
на (№ 46, 56, 57, 58). Непролишенные месторождения известны в
бассейне р. Чаката (№ 7, 8, 9, 11), где в 1951-1953 гг. Е. П. Мед-
ведевым (1953 г., 1954 г.) были разведаны поверхностными горни-
ми выработками несколько участков развития ослабленных пегмати-
тических жил. Породами, вмещающими мусковитогенные пегматиты, яв-
ляются архейские гнейсы и сланцы ультунитовой свиты тимитонской
серии. По характеру застывания пегматитовые жилы являются соглас-
ными и секущими, как правило, они кругоплавающие. Для всех жил
характерно зональное строение. Зальбанды сложены мелкозернистым,
а центральная часть крупнозернистым пегматитом, сменяющимися
крупными блоками белого кварца. Всего Е. П. Медведевым обнаружено
около 25 пегматитовых жил; по четырем из них проведен подсчет
запасов.

Пегматитовая жила в вершине левого притока р. Чаката (№ 8)
имеет длину 68,0 м, мощность 0,8-1,0 м. Ослаждение приурочено
к среднезернистому пегматиту и контакту его с блоками кварца в
центральной части жилы. Максимальные размеры мусковита 8x10 см.
Запасы силии по кат. С₂ составляют 18,3 т.

На левобережье р. Чаката (№ 7) в пегматитовой жиле, имею-
щей протяженность 100 м и мощность 0,65 м, обнаружен мусковит,
максимальные размеры которого 20x6 см. Мусковит светло-коричне-
вый до серебристого цвета, плотный, участками слегка деформиро-
ванный, равномерно насыщает всю жилу на участке длиной 93 м.
Среднее содержание слюды 22,9 кг/м³, запасы по кат. С₂ - 47,2 т.

В пегматитовой жиле длиной 37 м и мощностью 0,7-0,9 м на
водоразделе рек Чаката и Сивага (№ 11) содержится мусковит,
размеры кристаллов которого достигают 10x12 см. Ослабленными яв-
ляются крупноблоковый пегматит и блоки белого кварца в центре
жилы. Мусковит распространен равномерно. Запасы по кат. С₂ состав-

плот 20,9 т.

Месторождение на правобережье р.Чаката, в вершине (№ 9), приурочено к пегматитовой жиле длиной 63,0 м, мощностью до 2,5 м. Максимальные размеры мусковита 8х13 см, содержание 23,8 кг/м³, выход золотой массы 15,4 кг/м³, запасы по кат. С² – 4,0 т. Сведения о содержании слюды по месторождениям № 7, 11 отсутствуют.

Кроме перечисленных месторождений в этом же участке обнаружено еще около 20 пегматитовых жил, содержащих мусковит, по которому подсчет запасов не производился. На водоразделе рек Чаката и Таранаха (№ 6) в жиле длиной 10 м и мощностью 2 м содержатся кристаллы мусковита до 8х6 см. Содержания слюды 31,3 кг/м³, выход золотой массы – 28,9 кг/м³. На правобережье р.Чаката (в вершине) в жиле (№ 10) содержание мусковита достигает соответственно 18,9 кг/м³ с выходом золотой массы 16,1 кг/м³. Размеры отдельных пластин мусковита 12х10 см². Остальные жилы не разведывались.

Е.П.Медведев (1953ф, 1954ф), проводивший разведочные работы на Чакатайской участке месторождений и проявлений, приходит к выводу о его бесперспективности из-за низкого содержания слюды и удаленности объекта от областных районов.

Вторая группа мусковитовых проявлений расположена в бассейне левых притоков р.Сивакан (реки Ялвакан, Большой Бирандак и др.). В бассейне правого притока р.Ялвакан (№ 56) на протяжении 2,5 км от устья в делении и коренном залегании обнаружены многочисленные пегматитовые жили мощностью до 0,5 м. Пегматит белого цвета, блоковый, содержит чистый, прозрачный, раскальвящийся на тонкие пластинки мусковит. Высота кристаллов слюды достигает 4,0 см, площадь отдельных пластин 25–30 см² (5х5, 5х6 см). На правом берегу р.Ялвакана обнаружены четыре пластинки слюды–мусковита размером 3х4 см (№ 57, 58). Несколько коренных выходов пегматитов, содержащих мелкие (до 2х2 см) кристаллы мусковита, найдены в верховьях рек Большой Бирандак (№ 46) и Лев.Сивакана. Все проявления второй группы укладываются в пределы широкой зоны мусковитизации северо-западного простириания, проходящей по магнитизированым метаморфическим породам ильинской серии нижнего протерозоя. Значительные размеры зон кондиционные, хотя и не очень крупные, размеры кристаллов мусковита позволяют рекомендовать эту зону (р.Ялвакан с притоками) для постановки поисковых работ.

СТРОИТЕЛЬНЫЕ МАТЕРИАЛЫ

На территории листа в качестве штучного камня, облицовочного материала, бута и щебня могут быть использованы различные интрузивные породы.

К облицовочному материалу могут быть отнесены раннемеловые (?) гранодиориты и раннепротерозойские диориты. Эти породы обладают достаточной плотностью, трещины отдельности дают блоки размером до 2х1,5 м, а равномерная светло-розовая окраска придает породе при отшлифовке нарядный вид. Исключение представляют катаклизированные разности в зонах разломов и катаклаза.

В качестве бута и щебня могут быть использованы как интрузивные, так и метаморфические породы.

Для дорожного строительства могут использоваться галька и гравий, также пески из аллювия русел, поймы и I надпойменной террасы, развитые в долинах большинства рек района, покачая щебель рек Ток, Чапы, Авгеникура, а также глубоко врезанные долины басейна меридионального течения р.Алтому.

Возможно использование для получения известняков мраморов архей на водоразделе рек Сивака–Чаката и в долине р.Алтому. Использование мраморов сиваканская свиты в бассейне р.Сивакана исключено ввиду их малой и изменчивой мощности и интенсивного скарнирования.

Запасы строительных материалов практически не ограничены, но, виду несвоевременности и труднодоступности района, в настоящее время они не имеют практического значения.

ПЕРСПЕКТИВЫ РАЙОНА В ОТНОШЕНИИ ПОЛЕЗНЫХ ИСКОПАЕМЫХ

1. Район является перспективным для поисков коренного золота. В качестве возможных источников коренного золота перспективным является оруденение золота в лираг-кварцевых жилах. Рудопроявления этого типа, в первую очередь Саларанское проявление № 48, могут быть рекомендованы для поисково-разведочных работ на коренное золото.

Для проявлений жильного типа благоприятными структурами являются зоны разломов северо-восточного и восток-северо-восточного (реже субширотного) простириания вблизи интрузий раннемеловых трансオリоритов. Резервы этого же направления являются рудо-контролирующими и для оруденения золота в зонах пиритизации.

Для последних наиболее благоприятными являются приконтактовые участки даек жильных пород раннепротермического комплекса, в этой связи благоприятная геологическая обстановка, наличие упомянутых выше структур и присутствие золота в аллювии позволяют рекомендовать для поисков коренных проявлений золота бассейны р. Мал.Чапы, верховья рек Кунгкуя, Бол.Чапы, бассейн ее левых притоков, среднее течение р.Мукур-Дондя и долину р.Джантанды. Наибольший интерес представляют бассейн р.Мал.Чапы и верховья р.Качу, где известны отработанные россыпи по ручьям Помлати, Родионовскому, р.Качу, р.Мал.Чапе и ее левым притокам, расположенные ниже пересечения долин этих водотоков разломами восточного-восточного и северо-восточного простирания. К зонам этих разломов приурочены, скорее всего, коренные проявления золота, масштабы которых, судя по значительной обогащенности золотом аллювием, могут представлять практический интерес. На этом участке необходимо проведение детальных поисковых работ.

2. Район в целом перспективен на россыпное золото. Для окончательной оценки золотоносных участков необходимо проведение специальных поисково-разведочных работ. В пределах района выделяются области, с геоморфологических позиций в различной степени благоприятные для сохранности и формирования возможных россыпей.

Речные долины бассейна р.Алтому (верховья р.Алтому, нижние участки долин рек Бадис-Макита, Гутуны, Чакатай, бассейн р.Аририкы), верховьев рек Бол.Чапы, Нуяма, Уганы, Намути, Анакамы, Сылката, Сылакана обладают зрелыми формами, пологими склонами со слабым уклоном русла и характеризуются широким развитием аллювиальных и делювиальных рыхлых отложений. В течение длительного времени эти долины не были затронуты эрозионными процессами. На участках, благоприятных на золотоносность в геологическом отношении, возможно перекрытие современным чехлом рыхлых аллювиальных и делювиальных отложений погребенных древних долинных россыпей. Назначительный угол русла и слабое проявление молодых эрозионных процессов не способствуют выносу золота в современный русловый и косовой аллювий, поэтому содержание металла в последнем не характеризует степень золотоносности долины в целом. В этой связи полковое значение имеют даже знаковые содержания золота в русле в верховых рек Алтому, Бол.Чапы, Уганы, Анакамы, в долине р.Бадис-Макит, перспективных на россыпное золото и в геологическом отношении. Возможный тип россыпей — линные, погребенные.

Значительная часть речных долин (бассейны рек Мал.Чапы, Тока на широком отрезке и ниже устья р.Чапы, рек Чакатай, Улагира, Сивакана, Ялвакана) в течение верхнечетвертичного — современного времени была затронута интенсивной эрозионной деятельностью. Однако в настоящее время долины находятся в стадии боковой эрозии и характеризуются значительным комплексом молодых (верхнечетвертичных-современных) аллювимальных отложений, слагающих низкие I и II надпойменные террасы и поймы, а также косые террасовые. Среди долин данного типа перспективами на россыпное золото являются долины рек Тока и Улагира (среол № 30), в меньшей степени р.Чакатая (среол № 13).

Долины бассейнов меридионального течения рек Алтому и Аванчура в пределах горного массива на севере района, р.Тока между устьями рек Улагира и Чапы и долина р.Чапы характеризуются интенсивным проявлением молодой глубинной эрозии и крайне неблагоприятными условиями для образования россыпей. Наличие золота в шлихах на этих участках имеет поисковое значение лишь на коренное золото.

Реконструкция направления древней (ниже-средне-четвертичной (?)) гидросети в центральной части района (см. гл. "Геоморфология"), а также изложенные выше данные о золотоносности этого участка позволяют предположить наличие золота в ниже-средне-четвертичных (?) песчано-тальниковых отложениях: на водоразделах рек Мал.Чапы и Качу (в нижнем течении) и рек Качу и Тока, т.е. по дрессной долине ниже золотоносного узла в бассейне р.Мал.Чапы; в верховьях р.Сивакана и по левобережью р.Тока, напротив устья р.Анчана; в долине р.Улагира. По р.Улагир возможны золотоносные галечники, потребленные под базальтами.

3. Наличие месторождений и проявлений мусковита, обширных по площади зон мусковитизации позволяет положительно оценивать перспективы территории листа на мусковит.

Для поисковых работ рекомендуется верховья р.Чакатай, зона мусковитизации в бассейне р.Ялвакана с известными проявлениями мусковита, а также зона мусковитизации на междууречье Утана-Кунгкуя, приуроченная к массиву раннепротерозойских гранито-долов. В пределах этой зоны часто встречаются пегматитовые жилы с мелкими (1-1 см) кристаллами мусковита и возможны находки более крупных кондиционных кристаллов.

4. Иная половина территории с геологических позиций славится раннегеллового (?) возраста. В связи с этим представляется интересным здесь содержание в шихах минералов свинца, ртути, висмута, молибдена и металлометрические ореолы свинца и молибдена. Конкретные участки, представляющие интерес для поисков этих металлов, указаны в соответствующих разделах главы "Чолеское ископаемое".

ПОДЗЕМНЫЕ ВОДЫ

В гидрогеологическом отношении район слабо изучен, так как специальных гидрогеологических работ в его пределах не производилось.

Подземные воды, развитые в районе, подразделяются на два типа: порово-пластовые в четвертичных рыхлых отложениях и трещинные в коренных породах. Главным фактором, определяющим режим как наземных, так и подземных вод, является многолетняя мерзлота, повсеместно развитая в районе и сказывающая почти к полной роли трещинных вод в общем водном балансе района. Минеральные источники в районе неизвестны.

Среди порово-пластовых вод наибольшее значение имеет наимерзлотные воды рыхлых отложений: аллювия, пропловия, ледяния и элювия. Питание наимерзлотных вод, за исключением вод в пойменных террасах крупных рек, осуществляется непосредственно за счет атмосферных осадков и зависит от степени сезонного оттаивания и промерзания деятельного слоя, мощность которого невелика и составляет 0,3-0,6 м на склонах северной экспозиции и 0,5-1 м на горизонтальных плоскостях и склонах южной экспозиции. Наиболее мощным (до 5-6 м) является деятельный слой в аллювии крупных рек (Ток, Сивакан, Альма, Кунгук и др.). Вследствие близкого расположения поверхности многолетней мерзлоты, являющейся водоупором, наблюдается заболачивание почти всех более или менее горизонтальных плоскостей, быстрое насыщение деятельного слоя дождевыми или талыми водами и резкое преобладание поверхностного стока над подземным.

Число мелких родников в районе довольно велико, подавляющее большинство их приурочено к тальвегам различных промоин. Расход воды в родниках резко возрастает во время дождей, а сам родник обычно пересыхает вверх по тальвегу. Родники такого типа характерны для курумов и являются выходами из-под ледяния на

поверхность сформировавшихся выше тогоков.

Воды аллювиальных отложений поймы, русел и I надпойменной террасы питаются за счет речных и атмосферных вод. Погружение горизонта многолетней мерзлоты в долинах крутых рек приводит к тому, что в приступовой части ряда их притоков воды инфильтруются в нижние горизонты аллювия, а русла остаются сухими, если нет паводка. Глубина водонапорного горизонта высоких пойм и I надпойменной террасы непостоянна и колеблется по р. Току от 3,5 до 5-6 м, по рекам Сивакану, Кунгкуу она составляет около 2,5-3 м.

Водообильность кристаллического комплекса определяется инфильтрацией атмосферных осадков на участках непосредственного выхода этих пород на дневную поверхность, а также инфильтрацией пластово-поровых вод рыхлых отложений на глубину. Большое значение имеет при этом трещиноватость коренных пород и расщелиненность рельефа. В районе известны источники трещинных подземных вод, поступающие выход на поверхность в склонах речных долин (реки Ток, Чала, Сивакан и др.). Трещинные воды прозрачные, пресные и обладают хорошими вкусовыми качествами. Температура их не превышает 5-7°. Дебиты источников небольшие - 1-2 л/сек. В засушливые периоды ледяны трещинных источников сильно сокращаются, а зимой поступление воды прекращается совсем. Исключение составляют лишь некоторые зоны тектонических нарушений (разломы в долинах рек Мал. Сивакана, Таранаха, Аленкура и др.), где подток трещинных вод продолжается и приходит к образованию наледей. Такие источники следует рассматривать как выходы на поверхность подмерзлотных вод.

Химические анализы вод района не производились. Все поверхностные и подземные воды, за исключением некоторых застойных вод, притянуты на вкус игоды для бытовых и технических нужд. Наиболее обильным и устойчивым источником питьевого водоснабжения может быть горизонт высокой поймы, I надпойменной террасы крупных рек. В зимнее время большая часть района не может быть обеспечена водой за счет подземных вод для питьевых и технических целей, для чего необходимо оттаивать лед. Для выяснения вопроса о возможности зимнего использования подмерзлотных трещинных вод в долинах рек Авенкур, Сивакан, Ток и поисков их в других частях района необходимы специальные исследования в зимнее время.

ЛИТЕРАТУРА

ОПУБЛИКОВАННАЯ

- Альбов Ю.А., Мощкин В.Н.** Основные черты мезозойского интрузивного магматизма восточной части Станового хребта. Информ.-сборник ВСЕГЕИ № 17, 1959.
- Андреев З.Э.** Маршрутные геологосъемочные работы в бассейне р. Зеи. Геологические исследования в золотоносных областях Сибири. Вып.Х, 1909-1910.
- Виноградов А.П., Тугаринов А.И. и др.** Возраст пегматитов Станового хребта. Геохимия, 1960, № 5.
- Виноградов А.П., Тугаринов А.И. и др.** О возрасте горных пород Алданского щита. Геохимия, 1960 г., № 7.
- Голебенберг В.И.** Геологическая карта масштаба 1:200 000, лист 0-52-XXXU. Объяснительная записка. Госгеотехиздат, 1959.
- Давыдовский Ю.К.** Геология восточной окраины Алданской плиты. Матер.по геол. и пол.ископ.Вост.Сибири. Вып.19, 1946.
- Дзевановский Ю.К.** Государственная геологическая карта СССР масштаба 1:1 000 000, лист 0-52. Объяснительная записка (Якутия). Госгеотехиздат, 1947.
- Дзеванов Ю.К.** Государственная геологическая карта СССР масштаба 1:1 000 000, лист 0-51 (Алдан). Объяснительная записка. Госгеотехиздат, 1958.
- Дзевановский Ю.К.** Мезозойские гранитоиды хребта Станового и их структурное положение. Инф.-сб.ВСЕГЕИ, № 7, 1959.
- Давыдовский Н.П.** Докембрий Алданского щита и хребта Станового. Сб.докл.сов.геол. к XXI сессии МГК, пробл.ГУ. Стратиграфия и корреляция докембрия, Изд.АН СССР, 1960.
- Давыдовский Ю.К. и др.** Геологическая карта Алданского горно-промышленного района масштаба 1:500 000. Объяснительная записка. Госгеотехиздат, 1961.
- Долгих Т.С.** Геологическая карта масштаба 1:200 000, лист 0-52-XXXU. Объяснительная записка. Госгеотехиздат, 1959.
- Коржинская Д.С.** Докембрий Алданской плиты и хребта Станового. Стратиграфия СССР, т.1. Изд.АН СССР, 1939.
- Фондоная**
- Гиммелев Г.Б., Калтапов Е.Н. и др.** Геологическое строение и полезные ископаемые бассейнов верхних течений рек Нуны, Мульмути и Б.-Даури. (Отчет о работе партии № 4 за 1961 г.). ВТФ, 1962.
- Голебенберг В.Н., Долгих Т.С. и др.** Отчет о работе партии № 1 за 1954 г. (лист 0-52-XXXU). ВТФ, 1955.
- Голебенберг В.И.** Отчет о работе Томской и Алтиминской партии за 1955 г. (Геологическая съемка масштаба 1:200 000 листа 0-52-XXXU). ВТФ, 1956.
- Грушевский Г.В., Владимирист Г.М.** Отчет о геологопоисковых работах, проводимых партией № 6 Дальнейской экспедиции в бассейнах рек Ток и Околон в 1950 г. Фонды ДВГУ, 1950.
- Гукосян Г.О. и др.** Отчет о результатах работ аэро-поисковой партии № 31 за 1959 г. Фонды Октябрьской экспедиции, г.Воронцов-Уссурийск, 1960.
- Гукосян Г.И. и др.** Отчет о результатах работ аэро-поисковой партии № 31 за 1961 г. ВТФ, 1962.
- Зверев В.И.** Золотоносные районы Якутской АССР. ВТФ, 1932.
- Казмин Ю.Б., Филиппович И.З., Мисе-** вева В.М. и др. Геологическое строение и полезные ископаемые

восточной части Станового хребта в пределах бассейнов рек Утук, Туссани (Отчет о полисково-съемочных работах партии № 7 экспедиции № 4 ВАГТа за 1959 г.). ВГФ, 1967.

К а з м и н Ю.Б., Ф и л и п о т и ч И.З., П а н к и - на С.А. Отчет о геометрических исследованиях по математику и металлографии Станового хребта за 1960 г. ВГФ, 1961.

К а з м и н Ю.Б., Ф е д о р о в с к и й В.С. и др. Геологическое строение и полезные ископаемые территории листа №-52-ГУ (бассейн верхнего течения рек Тока и Алтому). Отчет о работе партии № 5 за 1961 г. ВГФ, 1962.

К а ц А.Г. и др. Геологическое строение и полезные ископаемые области Станового хребта в пределах верхних течений рек Сутама, Гилга, Унахи. Отчет о работе партии № 1 за 1961 г. ВГФ, 1962.

К о р х и н с к и й Д.С. Предварительный отчет о работах Тимиттоно-Нижнекинской геологописковой партии за лето 1930 г. ВГФ, 1930.

К р а с н и й Л.И. и др. Государственная геологическая карта СССР масштаба 1:1 000 000 (лист №-52). ВГФ, 1959.

К у д р я в л е в В.А., М о н а х о в М.А. и др. Геологическое строение и полезные ископаемые между реками Алдана и Зея в пределах бассейна верхнего течения р. Алтому (северная половина листа №-52-ГУ). Отчет о работе партии № 6 за 1959 г. ВГФ, 1960.

К у к с А.И. Геология и полезные ископаемые бассейнов верхнего течения рек Алтому и Нуума (Отчет по работам Алтому-ской партии Тонамской экспедиции треста Якутзолото в 1945 г. Алдан). ВГФ, 1950.

Л о ш а к Н.П. и др. Геологическое строение северо-западной части листа №-52-Х (Бомнакская партия, 1961 г.). Материалы к Госуд.гол.карте СССР масштаба 1:200 000. ВГФ, 1962.

Л о ш а к Н.П. и др. Геологическое строение и полезные ископаемые восточной части листа №-52-Х (Бомнакская партия, 1962 г.). ВГФ, 1963.

М а р ч е н к о Г.Г. и др. Геологическое строение и полезные ископаемые между реками Тока - Зеи. Масштаб 1:1 000 000. ВГФ, 1957.

М е л ь ө д ө з Е.П. Отчет о результатах геологосъемочных и разведочных работ в районе левых притоков верхнего течения р.Алдана за 1952 г. ВГФ, 1953.

М е л ь ө д ө з Е.П. Отчет о результатах геологосъемоч-

ных и разведочных работ в левых притоках верхнего течения р.Алданы. ВГФ, 1954.

М и к а и л о в Б.А. и др. Геологическое строение верховьев рек Зеи и Оконона (южная половина листа №-52-У). Отчет о работе партии № 5 за 1960 г. ЧГФ, 1961.

М и р о н о в Е.П., Т а р а с о в а В.Г. Геологическое строение левобережья р.Олекмы (юго-западная часть листа 0-51). ВГФ, 1951.

М о ш к и н З.Н., А л ь б о в Ю.А. Геологическое строение и полезные ископаемые р.Ульыхы и бассейна верхнего течения р.Май-Половинной. ВГФ, 1956.

М о ш к и н В.Н. и др. Стратиграфия и интрузивные образования архая и пртерозоя восточной части Станового хребта и южной части хребта Джугджур, том II. Фонды ВСЕГЕИ, 1961.

Р о д и о н о в М.И., П у з а н к о в А.А. Отчет Верхне-Зейской партии за 1958 г. (Дальневост.аксп. 6-го Глavn.упр.). Пис.Чатка. ВГФ, 1959.

С и р о т и н Ю.А. Предварительный отчет о работах Ток-ской геологописковой партии Верхне-Зейской экспедиции Амурской конторы треста Золоторазведка. Материалы Амурзолоторазведка. ВГФ, 1947.

С у ш к о в П.П., Л е з ч е н к о В.А. Отчет о геологических исследованиях в бассейне верхнего течения рек Алтому, Ток, Оконона (восточная часть хребта Станового и в междууречье Зеи - Кулури) в 1950-1952 гг. Хабаровск. ВГФ, 1952.

У д и н и ч о в В.С. Отчет о работе Туссани-Магнамской геологописковой партии в 1929 г. ВГФ, 1929.

Ф е д о р о в с к и й В.С. Объяснительная записка к листу №-52-ХII Государственной геологической карты масштаба 1:200 000. Фонды ДВГУ, 1959.

Ф р о л о в а Е.Е. Геологический очерк Зейского рудного района. ВГФ, 1953.

Ш п а к Н.С. Объяснительная записка к листу №-53-Л Государственной геологической карты масштаба 1:200 000. Фонды ВАГТ, 1963.

Приложение I

Список

МАТЕРИАЛОВ, ИСПОЛЬЗОВАННЫХ ДЛЯ СОСТАВЛЕНИЯ КАРТЫ ПОЛЕЗНЫХ ИСКОПАЕМЫХ

1	2	3	4	5
4	Кукус А.И.	Геология и полезные ископаемые верхнего течения рек Алтами и Нуяма (Отчет по работам Алтominской партии Нымской экспедиции и треста Якутазолото в 1945 г.).	1950	Рукопись, ВТФ, № 001978
1	Груженой Г.В., Владимир- ский Г.М.	Отчет о геологописко- вых работах, проводив- шихся партией № 6 Дальней экспедиции в бассейнах рек Ток и Оконон в 1950 г.	1950	Фонды ДГУ, Хабаровск, № 00217
2	Казими Ю.Б., Федоров- ский В.С., Моисеева В.М., Панкина С.А. и др.	Геологическое строение и полезные ископаемые территории листа № -52-IV (бассейн верхнего течения рек Тока и Алтами). От- чет о работе партии № 5 за 1961 г.	1962	Рукопись, ВТФ, № 00239009
3	Кудрявцев В.А., Монахов М.А. и др.	Геологическое строение и полезные ископаемые междуречья Алдана и Зеи в пределах бассей- на верхнего течения р.Алтами (северная по- ловина листа №-52-IV). Отчет о работе партии № 6 за 1959 г., т.1.	1960	Рукопись, ВТФ, № 00223067
5	Медведев Е.П.	Отчет о результатах геологосъемочных и разведочных работ в районе левых притоков верхнего течения р.Ал- томы за 1952 г.	1953	Рукопись, ВТФ, № 0162967
6	Медведев Е.П.	Отчет о результатах геологосъемочных и раз- ведочных работ в левых притоках верхнего тече- ния р.Алтами	1954	Рукопись, ВТФ, № 0174900
7	Сиротин Ю.А.	Предварительный отчет о работах Токской гео- логописковой партии Верхне-Зейской экспеди- ции Амурской конторы треста Золоторазведка	1947	Рукопись ВТФ, № 148651
8	Сушков П.П., Левченко В.А.	Отчет о геологических исследованиях в бассей- не верхнего течения рек Алтами, Тока, Оконона (восточная часть хребта Станового и междуречье Зеи - Културы) в 1950- 1952 гг.	1952	Рукопись, ВТФ, № 00166448

Приложение 2

СИСТОМ

ПРОМЫШЛЕННЫХ МЕСТОРОДЖЕНИЙ ПОЛЕЗНЫХ ИСКОПАЕМЫХ, ПОКАЗАННЫХ НА ЛИСТЕ № 52-IV КАРТЫ ПОЛЕЗНЫХ ИСКОПАЕМЫХ МАСШТАБА 1:200 000

№ по декс- кар- те на карте	Наименование месторождения и вид по- лезного ископаемого	Со- стояние эксплуа- тации	Тип место- зования- го мате- риала по списку (К-ко- ренное, Р-рос- сийское)	№ исполь- зованно- го мате- риала по списку (К-ко- ренное, Р-рос- сийское)			
				Ин- декс- кар- тии на карте			
МЕТАЛЛИЧЕСКИЕ ИСКОПАЕМЫЕ							
Благородные металлы							
		Золото					
23	Река Мал.Чапа, 0,6 км выше устья руч.Родионовского	Отработано	P	7			
24	Среднее течение р.Мал. Кауч	То же	P	7			
25	Руч.Ломпаки, в 3 км от устья	"	P	7			
26	Река Мал.Чапа	"	P	7			
27	Нижнее течение р.Мал. Кауч	"	P	7			
28	Нижнее течение р.Ломпаки, в 1 км от устья	"	P	7			
34	Нижнее течение р.Мал.Чапа	"	P	7			
35	Левый приток руч.Окса-	"	P	7			

Приложение 3

СИСТОМ

НЕПРОМЫШЛЕННЫХ МЕСТОРОДЖЕНИЙ ПОЛЕЗНЫХ ИСКОПАЕМЫХ, ПОКАЗАННЫХ НА ЛИСТЕ № 52-IV КАРТЫ ПОЛЕЗНЫХ ИСКОПАЕМЫХ МАСШТАБА 1:200 000

№ по декс- кар- те на карте	Наименование месторождения и вид по- лезного ископаемого	Со- стояние эксплуа- тации	Тип место- зования- го материала по списку (К-ко- ренное, Р-рос- сийское)	№ исполь- зованного материала по списку (К-ко- ренное, Р-рос- сийское)			
				Ин- декс- кар- тии на карте			
НЕМЕТАЛЛИЧЕСКИЕ ИСКОПАЕМЫЕ							
Слюдя-мусковит							
7	Истоки верхнего левого притока р.Чакатай	Законсервировано	K	5,6			
8	Там же	То же	K	5,6			
9	Вершина левого верхнего притока р.Чакатай	"	K	5,6			
11	Водораздел верховьев рек Чакатай и Утумуга	"	K	5,6			

Приложение 4

СПИСОК

ПРОЕВЕНИЙ ПОЛЕЗНЫХ ИСКОПАЕМЫХ, ПОКАЗАННЫХ НА ЛИСТЕ
Н-52-1У КАРТЫ ПОЛЕЗНЫХ ИСКОПАЕМЫХ МАСШТАБА 1:200 000

№ по кар- те	Ин- декс- каст- рии на карте	Назначение (местонахожде- ние) проявления и вид полезного ископаемого	Характеристика проявления	№ исполь- зованно- го мате- риала по списку (при- лож.)				
				1	2			
ГУРЧИЕ ИСКОПАЕМЫЕ								
Каменный уголь								
I-4	Верхнее тече- ние р.Айленкур	Тонкий с раздувами до 0,15 м пласт угля в аргиллитах и песчани- ках	3	45	II-3, III-4 IУ-3 IУ-4			
I7				Левый борт доли- ни р.Сизакан	2			
47	III-4	Низовья р.Наму- ти и верхнее текущие р.Ток	2	47	III-4 IУ-1 IУ-2			
52	IУ-1 IУ-2	Долина р.Кунг- куй	2	52	Спектрометаллоргический ореол. Содержание свинца от 0,004% до 0,06%			
55	IУ-2 IУ-3	Ломниа р.Мужун- Донда	2	55	Спектрометаллоргический ореол. Содержание свинца от 0,004% до 0,06%			
I2	I-2	Верхнее течение р.Утуяг	3	I-2, 7	Свинец			
I4	I-3 I-4 II-2, II-3	Междуречье Го- рунчи - Анычана	3	I-2	Свинец и молибден			
40	II-3 II-3	Широтный уча- сток долины р.Ток	3	I-2, 7	Свинец и молибден			
I2		Верхнее течение						
I4		Междуречье Го- рунчи - Анычана						

		1	2	3	4	5
		1	2	3	4	5
19	II-I	Верховья р.Ари-	Спектрометаллометрический ореол. Содержание синильной кислоты 0,004% до 0,06%, молибдена 0,003-0,06%	3		
41	III-3	Азгеноукурское. Долина р.Азгено-	Золото до 3,2 г/т в зоне брекчирования и карбонатизации	4		
53	I-U-1	Коралловое, устье р.Кораль	Золото до 0,5 г/т в пиритизированных роговообманковых диоритах	2		
54	II-U-2	Кунгурское. Левый приток р.Кунгур у устья	0,08 г/т золота в кварцевой жиле с вкрапленностью пирита и ее пиритизированном экзоконтакте	2		
31	II-4	Намкунское. Среднее течение руч.Намкун	I,1 г/т золота в полево-шпат-кальцитовой жиле с вкрапленностью пирита	4		
48	III-4	Сагараское. Долина р.Ток, левый борт	12,0 г/т золота в кварцевой жиле с гнездами пирита	2		
54	II-U-2	Токовое левобережное. Долина р.Ток, в 2 км ниже устья р.Чапы	Золото до 0,9 г/т в зоне пиритизации в экзоконтакте дайки гранодиорит-порфиров	2		
50	I-U-1	Уганское водо-разделенное. Верховья р.Уган	Золото до 0,3 г/т в глине жильного кварца с вкрапленностью пирита	2		
51	I-U-1	Уланское долин-	0,4 г/т золота в глине жильного кварца с вкрапленностью пирита	2		
52	III-I	Ужиканское. Руч.Ужикан, нижний левый приток	0,3 г/т золота в кварцевой жиле с вкрапленностью пирита	2		
33	III-2	Чапское. Река Больш.Чапа	6,2 г/т золота в кварцевой жиле с вкрапленностью пирита	2		
13	I-2	Река Чакатай, среднее течение	Шлиховой ореол со знаковым содержанием золота	3, 4		
22	II-I	Река Больш.Чапа, верхнее течение	Шлиховой ореол со знаковым содержанием золота	2, 3		
30	II-3, 4 III-3, 4	Долина рек Улагир и Ток	Шлиховой ореол. Содержание золота по р.Ток от редких знаков до 1,8 г/т, по р.Улагиру - редкие знаки	2, 3, 7, 8		
49	I-U-1	Верховья р.Кунгур	Шлиховой ореол со знаковым содержанием золота	2		
29	II-3	Аннанское. Верховья р.Аннан	Золото (1,4 г/т) и серебро (5,0 г/т) в пиритизированных (в зоне разлома) диоритах	4		

Благородные металлы

Золото

1	2	3	4	5	
1	2	3	4	5	
1 I-I	Bаidisмакитское верхнее. Верховы руч. Баidis-Макит	Золото (0,8 г/т) и се- ребро (7,6 г/т) в пири- тизированных кварцевых порфирах	4	Золото (2,8 г/т) и се- ребро (13,2 г/т) в акти- нолит-хлоритовых сланцах (диафторгах) с зерни- стостью сульфидов	4
2 I-I	Баidisмакитское среднее. Среднее тече- ние руч.Баidis- Макит	Золото (2,8 г/т) и се- ребро (13,2 г/т) в акти- нолит-хлоритовых сланцах (диафторгах) с зерни- стостью сульфидов	4	Золото (0,6-3,2 г/т) и серебро (6,8-47,4 г/т) в зоне супидного ору- дения в экзоконтакте дайки спессартитов	4
5 I-2	Верхне-Чакатай- ское. Верховья р.Чакатай	Серебро	39 III-2 ГУ-2	Долина р.Ток в нижнем тече- нии	39 III-2 ГУ-2
37 III-2	Токское право- бережное. Доли- на р.Ток, в 2 км выше устья р.Ча- катай	Серебро (9,6 г/т) в ка- раказионанных биотит- амфиболовых сланцах с закрашенностью сульфидов	2	Водораздел рек Сивакана, Тока и Намуги	42 III-3 ГУ-3 III-4 ГУ-3 ГУ-4
43 III-3 ГУ-2 ГУ-3	Долина р.Сива- кан	Спектрометаллометрический ореол с содержанием моли- бдена от 0,003% до 0,05%	2	Долина р.Сива- кан	43 III-3 ГУ-2 ГУ-3
59 ГУ-3	Нижний правый приток руч.Нал- ды-Зимовьячи	Спектрометаллометрический ореол с содержанием моли- бдена от 0,003% до 0,04%	2	Нижний правый приток руч.Нал- ды-Зимовьячи	59 ГУ-3
Р е д к и е м е т а л ы					
4 I-2	Чакатайское, верховы р.Ча- катай	Молибден	15 I-4	Долина р.А-в- тенкур	15 I-4
44 III-3	Долина рек Мал. и Больш.Биранджа	Молибденит, пирит и халькопирит в зоне дроб- ления в биотит-гранато- вых гнейсах и двулирок- сеновых сланцах архей	3	Монацит в инъекциях аляс- китовых гранитов среди биотитовых мигматитов	3
		Шлиховой ореол со значо- вым содержанием молибе- дита	18	Долина р.А-в- тенкур	18 I-4
				Монацит в жиле архейских ортотектитов мощностью 1,2 м	3

		1	2	3	4	5
		1	2	3	4	5
НЕМЕТАЛЛИЧЕСКИЕ ИСКОПАЕМЫЕ						
О п т и ч е с к о е с и р ь е						
62	IУ-4	Горный хрусталь	Прозрачные кристаллы горного хрустала в кварцевой жиле	2	57	IУ-3
61	IУ-4	Джиктандинское. Верховья р.Джиктанды, левый борт Ялаванское. Река Ялаван, верховья рло-рого снизу правого при-тока	Серия хрусталеносных кварцевых жил мощностью от 0,05 до 0,5 м	2	58	IУ-3
46	III-3	Силикатные и скопление Слюды-мусковит	Пегматитовая жила до 1,0 м мощностью с мелкими кристаллами мусковита	2	58	IУ-3
6	I-2	Верховья р.Бол.Биранджи Таранаха	Водораздел рек Чакатая и Таранаха	5	280	Устье второго снизу правого притока р.Ялавакан
10	I-2	Верховья лево-го верхнего притока р.Чакатай	Мусковитонносная пегматитовая жила мощностью до 0,7 м	6	Мусковитонносная пегматитовая жила мощностью до 0,4 м	2
56	IУ-3	Второй снизу правый приток р.Ялаван, в 2,5 км от устья	Мусковитонносная пегматитовая жила мощностью до 0,5 м	2	Мусковитонносная пегматитовая жила мощностью до 0,4-0,5 м	2

		1	2	3	4	5
		1	2	3	4	5
МУСКОВИТОНОСНЫЕ ИСКОПАЕМЫЕ						
Г и д р о - и с к о п а е м ы е						